

# 4端子MOSトランジスタ

群馬大学  
松田順一

# 概要

- 完全チャージ・シート・モデル
- 簡易チャージ・シート・モデル
  - ソース参照モデル、対称モデル
- 強反転モデル
  - 完全対称モデル、簡易対称モデル、簡易ソース参照モデル
- 弱反転モデル
- EKV(C. C. Enz, F. Krummyenacher, E. A. Vittoz)モデル
- 実効移動度
- 温度依存性
- pチャネル・トランジスタ
- 付録: 擬フェルミ電位を用いたモデル(Pao-Sah)

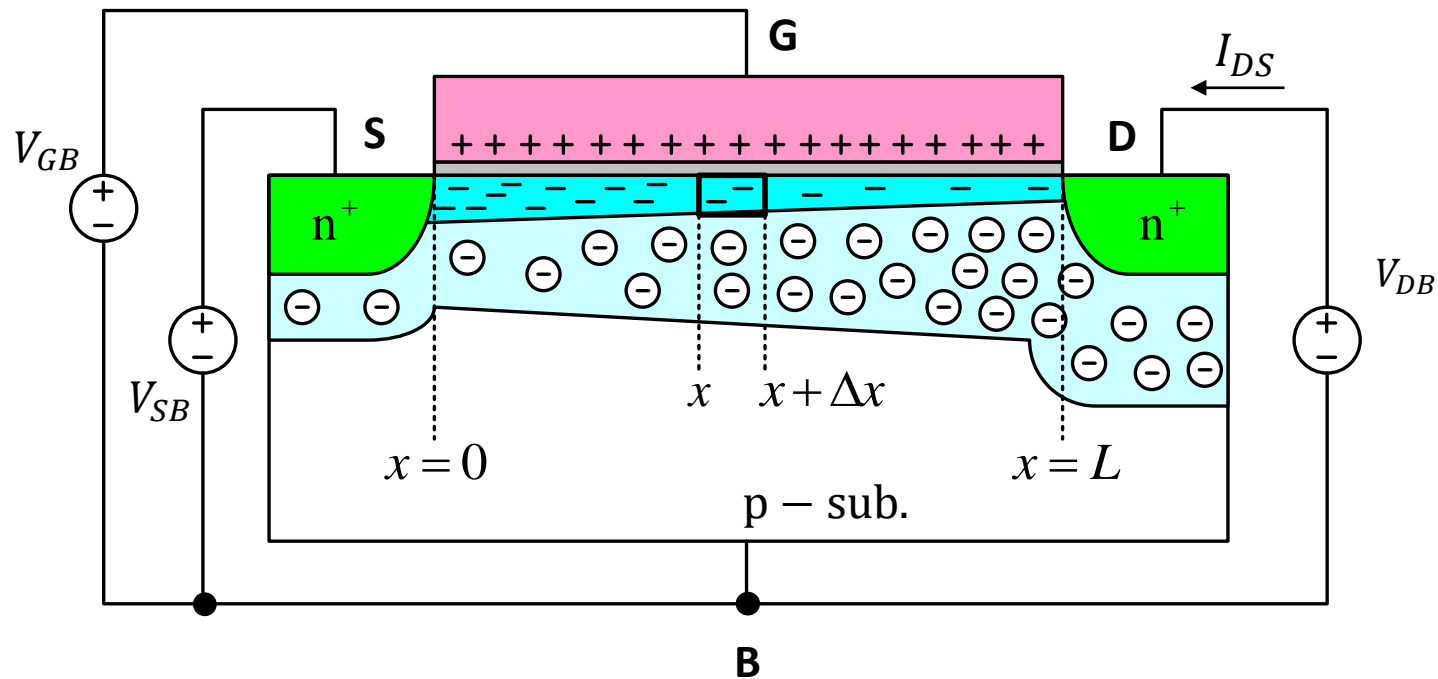
(注)以下の本を参考に、本資料を作成。

(1) Yannis Tsididis, Operation and Modeling of the MOS Transistor Second Edition, McGraw-Hill, New York, 1999.

(2) Yannis Tsididis and Colin McAndrew, Operation and Modeling of the MOS Transistor Third Edition, Oxford University Press, New York, 2011.

# nチャネルMOSトランジスタ

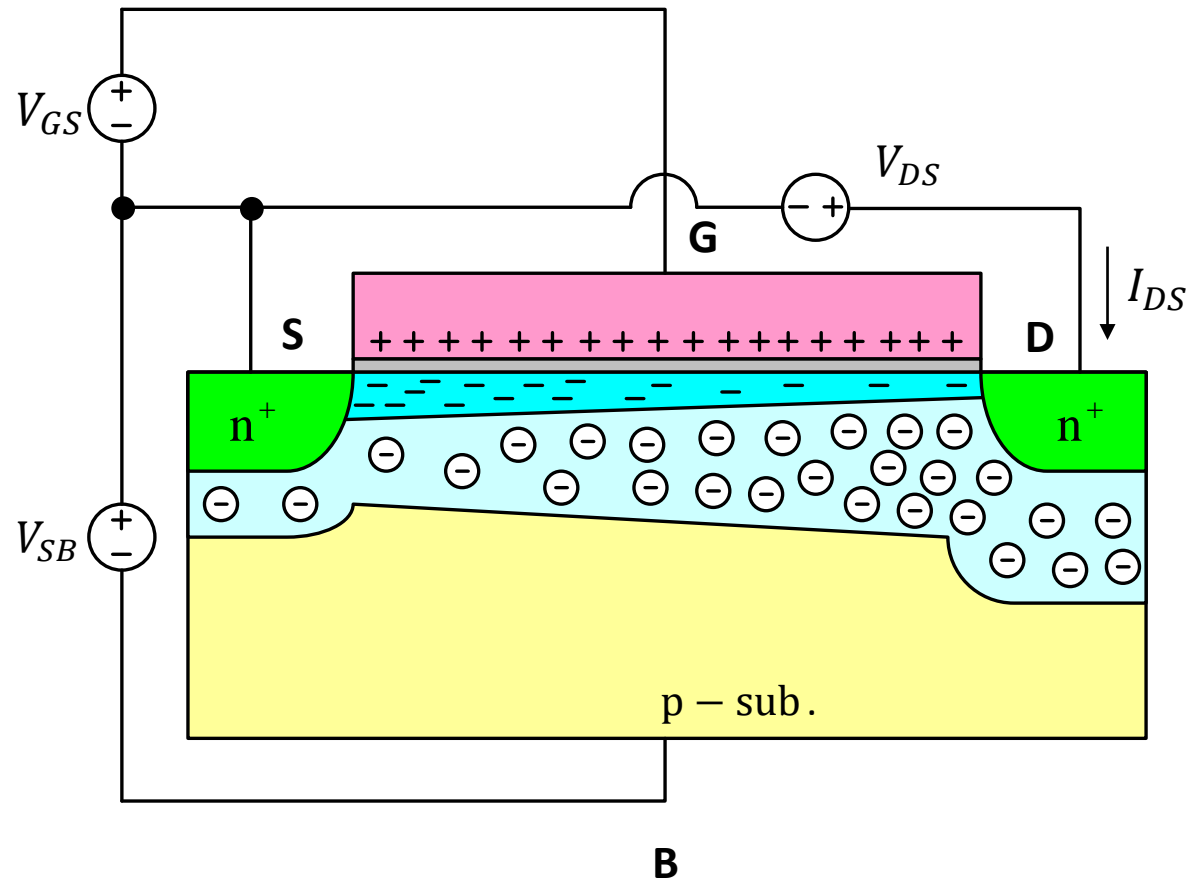
(基板に対する各端子電圧)



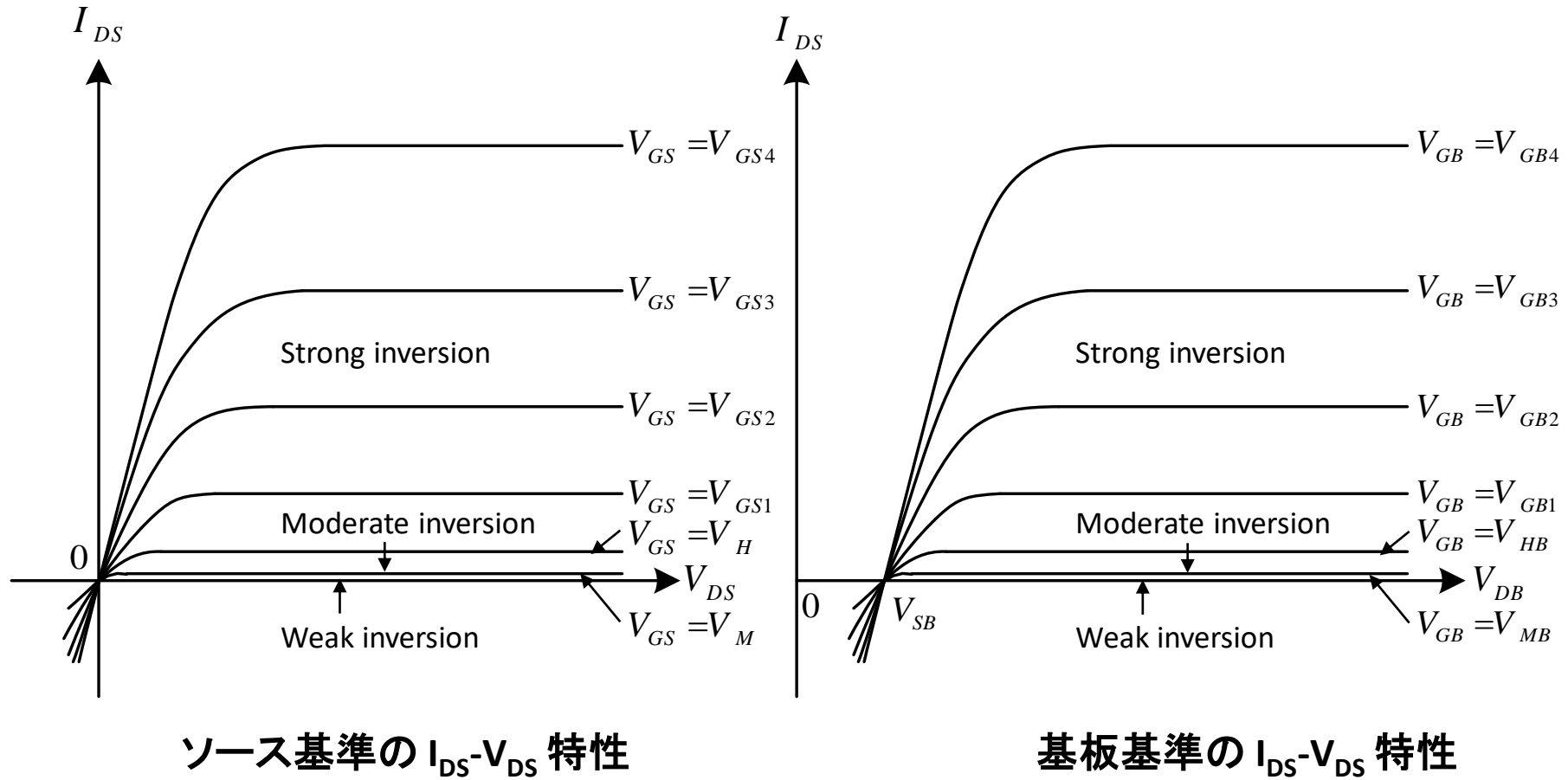
G: ゲート  
D: ドレイン  
S: ソース  
B: 基板

# nチャンネルMOSトランジスタ

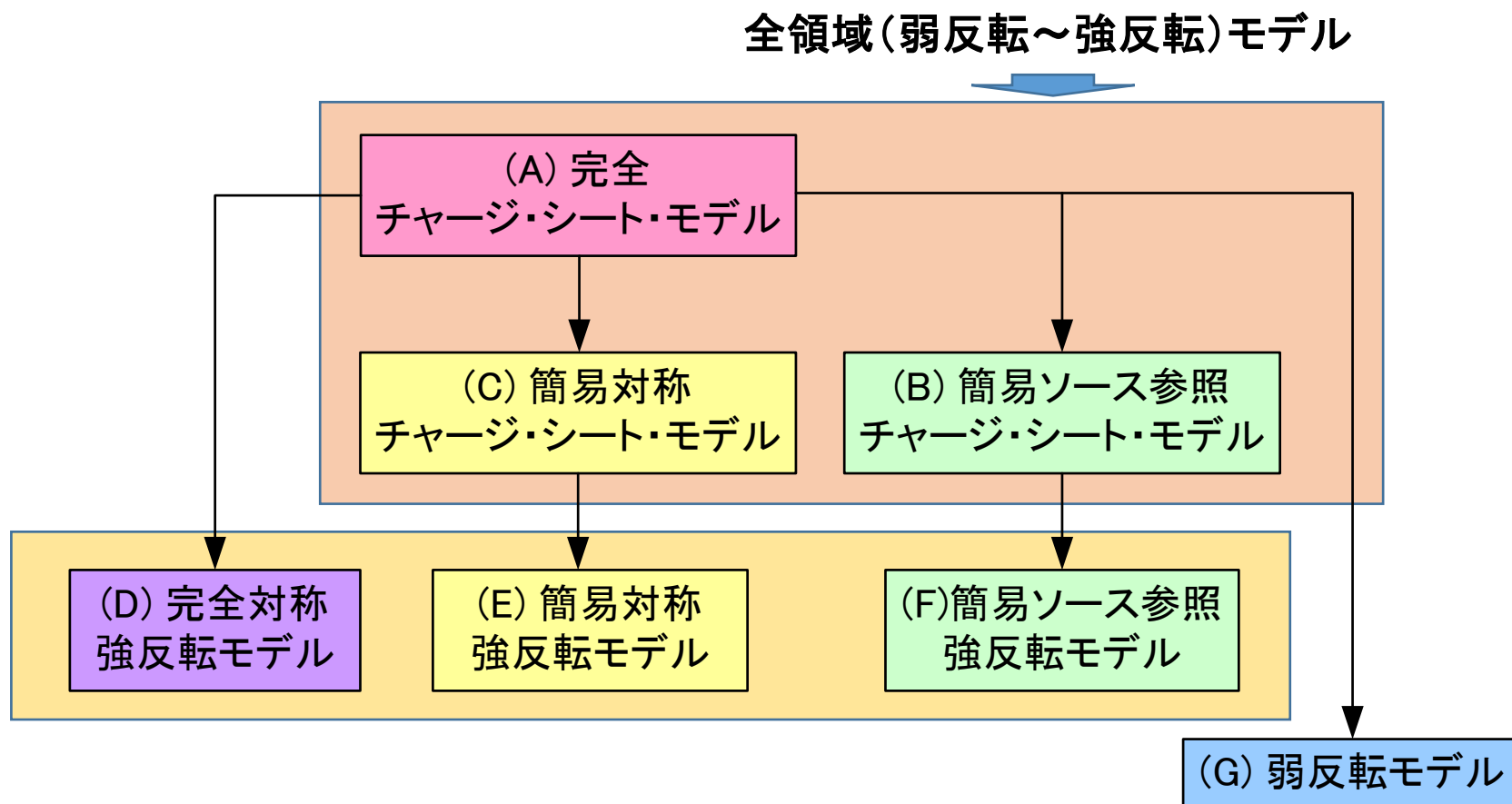
(ソースに対する各端子電圧)



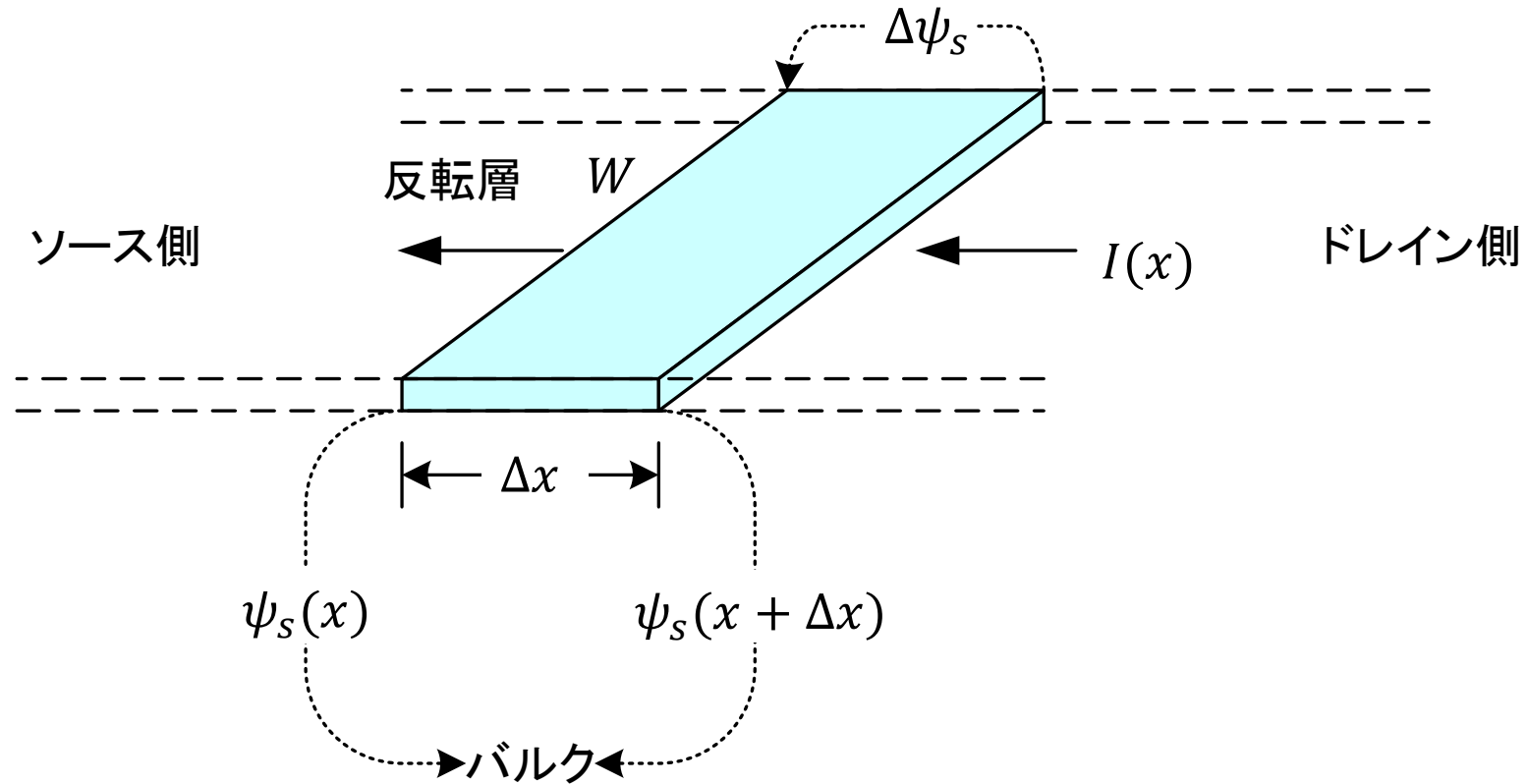
# 電流電圧特性



# 電流式モデルの階層



# 反転層の微小要素



# (A) 完全チャージ・シート・モデルの導出(1)

チャネル内の点  $x$  における電流  $I(x)$  は、**ドリフト電流 + 拡散電流**から、

$$I(x) = \mu W (-Q'_I) \frac{d\psi_s}{dx} + \mu W \phi_t \frac{dQ'_I}{dx}$$

となる。これを  $x = 0$  から  $x = L$  まで積分すると、

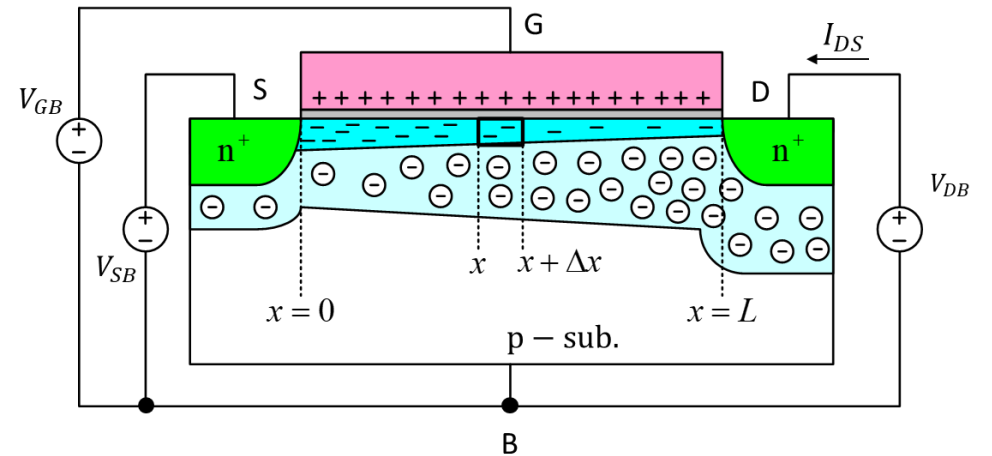
$$\int_0^L I_{DS} dx = W \int_{\psi_{s0}}^{\psi_{sL}} \mu (-Q'_I) d\psi_s + W \phi_t \int_{Q'_{I0}}^{Q'_{IL}} \mu dQ'_I$$

$$I_{DS} = \frac{W}{L} \left[ \int_{\psi_{s0}}^{\psi_{sL}} \mu (-Q'_I) d\psi_s + \phi_t \int_{Q'_{I0}}^{Q'_{IL}} \mu dQ'_I \right]$$

ここで、

$$I_{DS1} = \frac{W}{L} \int_{\psi_{s0}}^{\psi_{sL}} \mu (-Q'_I) d\psi_s, \quad I_{DS2} = \frac{W}{L} \phi_t \int_{Q'_{I0}}^{Q'_{IL}} \mu dQ'_I$$

**ドリフト電流**                      **拡散電流**



$$\psi_s \Big|_{x=0} = \psi_{s0} \quad (\text{ソース端の表面電位})$$

$$\psi_s \Big|_{x=L} = \psi_{sL} \quad (\text{ドレイン端の表面電位})$$

$$Q'_I \Big|_{x=0} = Q'_{I0} \quad (\text{ソース端の反転層電荷密度})$$

$$Q'_I \Big|_{x=L} = Q'_{IL} \quad (\text{ドレイン端の反転層電荷密度})$$



# (A) 完全チャージ・シート・モデルの導出(2)

移動度を一定として、積分の外に出すと、

$$I_{DS1} = \frac{W}{L} \mu \int_{\psi_{s0}}^{\psi_{sL}} (-Q'_I) d\psi_s, \quad I_{DS2} = \frac{W}{L} \mu \phi_t (Q'_{IL} - Q'_{IO})$$

となる。ここで、 $Q'_I$ は

$$Q'_I = -C'_{ox} \left( V_{GB} - V_{FB} - \psi_s + \frac{Q'_B}{C'_{OX}} \right) = -C'_{ox} (V_{GB} - V_{FB} - \psi_s - \gamma \sqrt{\psi_s}) \quad (\because Q'_B = -\gamma C'_{ox} \sqrt{\psi_s})$$

で与えられるから、 $I_{DS1}$ と $I_{DS2}$ は以下になる。

$$I_{DS1} = \frac{W}{L} \mu C'_{ox} \left[ (V_{GB} - V_{FB})(\psi_{sL} - \psi_{s0}) - \frac{1}{2}(\psi_{sL}^2 - \psi_{s0}^2) - \frac{2}{3} \gamma (\psi_{sL}^{3/2} - \psi_{s0}^{3/2}) \right] \Rightarrow \text{ドリフト電流}$$

$$I_{DS2} = \frac{W}{L} \mu C'_{ox} \left[ \phi_t (\psi_{sL} - \psi_{s0}) + \phi_t \gamma (\psi_{sL}^{1/2} - \psi_{s0}^{1/2}) \right] \Rightarrow \text{拡散電流}$$

# (A) 完全チャージ・シート・モデルの導出(3)

以下の $V_{GB}$ と $\psi_s$ の関係式において

$$V_{GB} = V_{FB} + \psi_s + \gamma \sqrt{\psi_s + \phi_t e^{[\psi_s - (2\phi_F + V_{CB})]/\phi_t}}$$

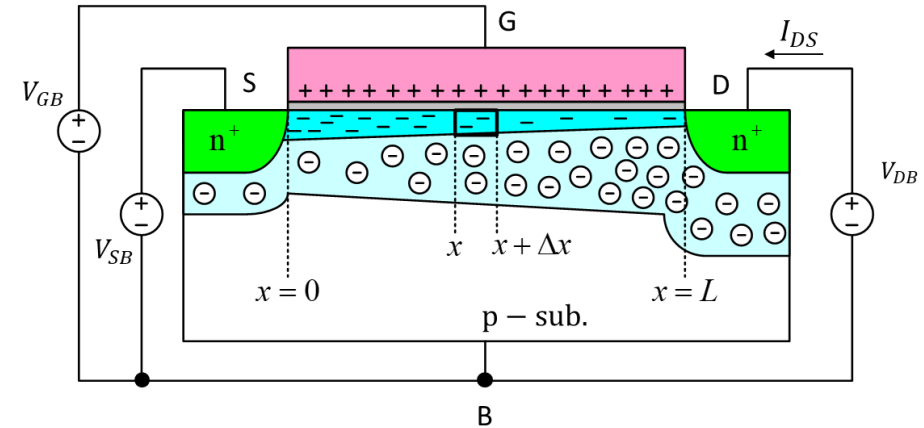
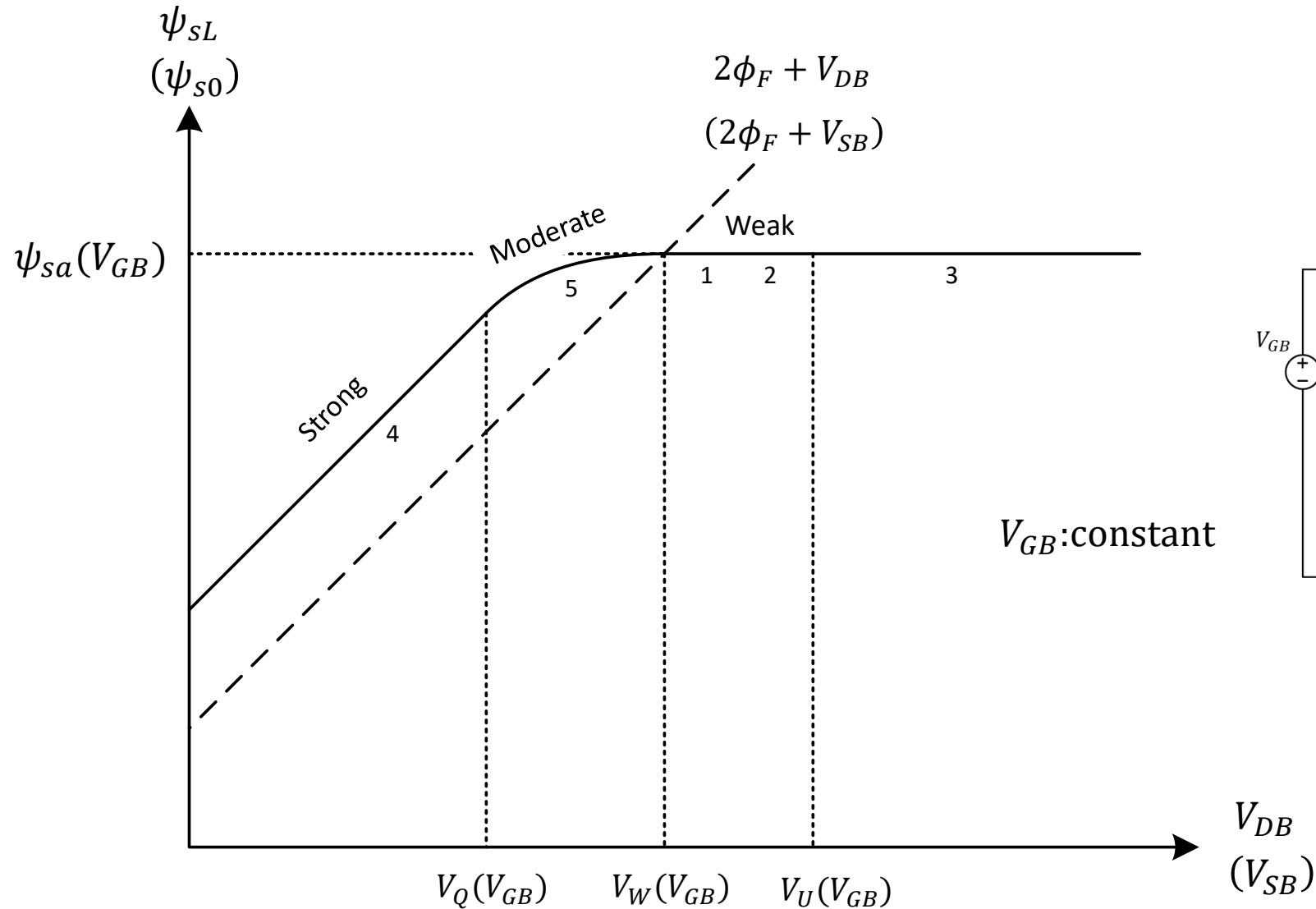
ソース端: $V_{CB} \Rightarrow V_{SB}$ 、ドレイン端: $V_{CB} \Rightarrow V_{DB}$   
とすると、 $\psi_{s0}$ と $\psi_{sL}$ は、

$$\psi_{s0} = V_{GB} - V_{FB} - \gamma \sqrt{\psi_{s0} + \phi_t e^{[\psi_{s0} - (2\phi_F + V_{SB})]/\phi_t}}$$
$$\psi_{sL} = V_{GB} - V_{FB} - \gamma \sqrt{\psi_{sL} + \phi_t e^{[\psi_{sL} - (2\phi_F + V_{DB})]/\phi_t}}$$

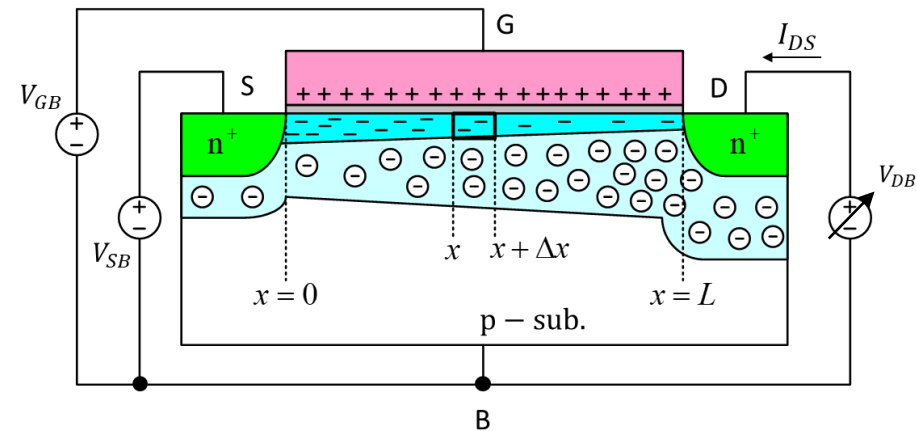
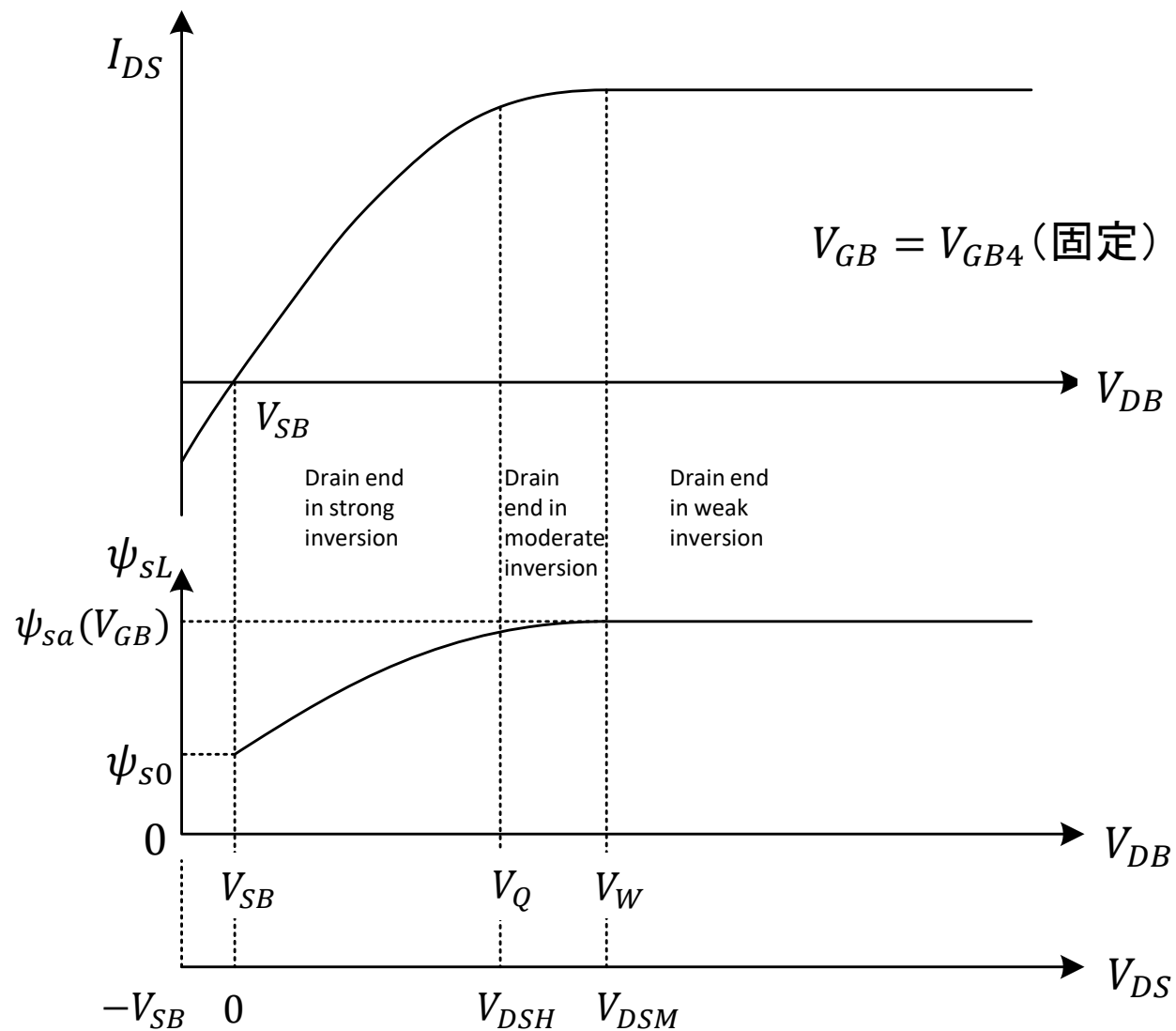
➡ 表面電位( $\psi_{s0}$ ,  $\psi_{sL}$ )と $V_{GB}$ の  
関係は解析的には解けない

となる。

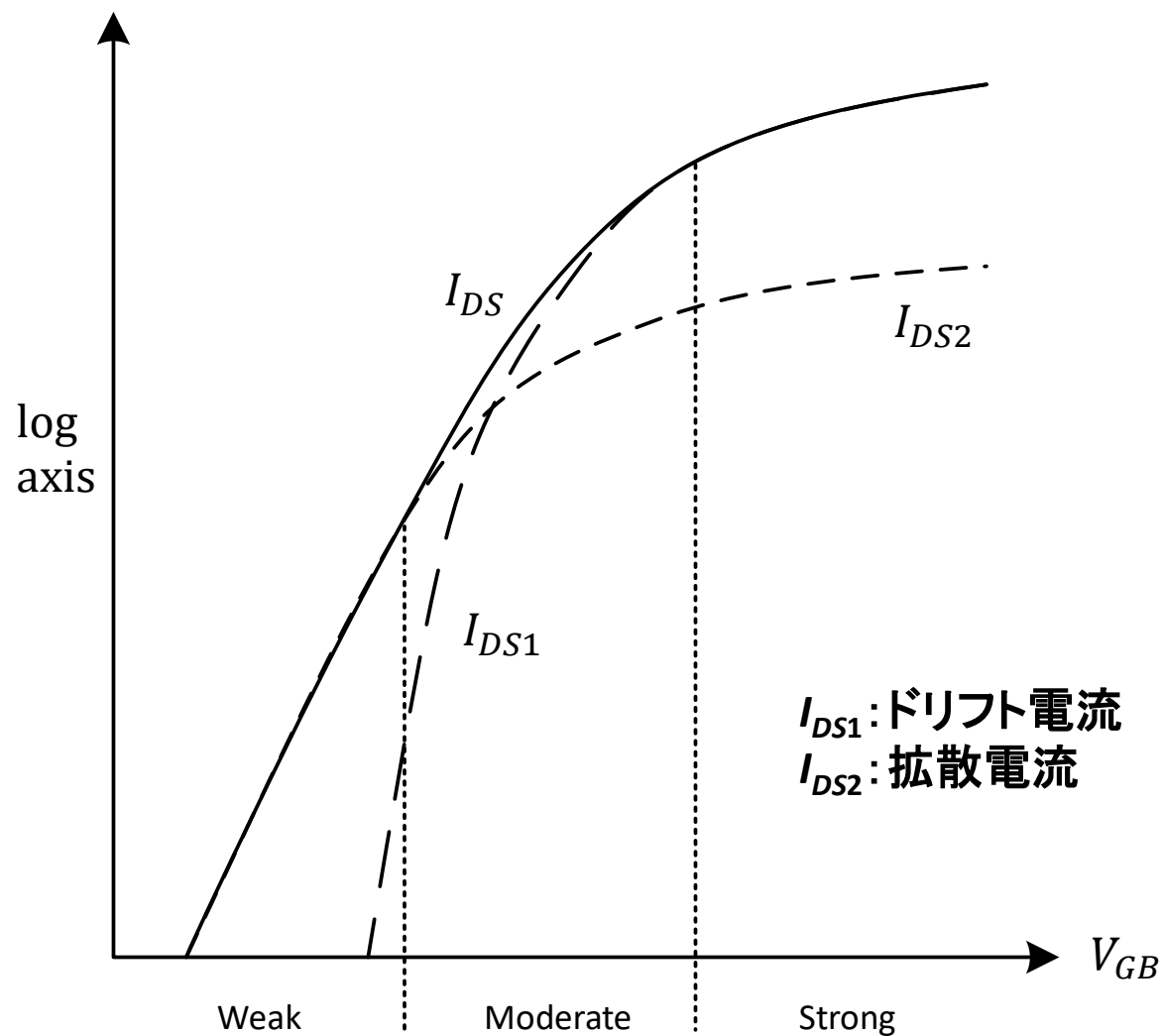
# (A)ドレイン端での表面電位とドレイン基板間電圧



# (A) $I_{DS} - V_{DB}$ 特性と表面電位との関係



# (A)ドレイン～ソース電流成分



完全チャージシートモデル式によって  
弱反転、中(緩やかな)反転、強反転の  
全領域を表せる

# (A) 完全チャージ・シート・モデル式の対称性

完全なチャージ・シート・モデルは、以下に変形できる。

$I_{DS1} + I_{DS2}$ から

$$I_{DS} = \frac{W}{L} [f(\psi_{sL}) - f(\psi_{s0})]$$

ここで、

$$f(\psi_s) = \mu C'_{ox} \left[ (V_{GB} - V_{FB} + \phi_t) \psi_s - \frac{1}{2} \psi_s^2 - \frac{2}{3} \gamma \psi_s^{3/2} + \phi_t \gamma \psi_s^{1/2} \right]$$

これは、ソースとドレインを入れ替えても同じ式になる。

# (A) チャンネル内の表面電位と反転層電荷

電流式が、

$$I_{DS} = \frac{W}{L} [f(\psi_{sL}) - f(\psi_{s0})]$$

であるから、 $x$ における電流は、以下で表される。

$$I_{DS} = \frac{W}{x} [f(\psi_s(x)) - f(\psi_{s0})]$$

したがって、

$$\frac{x}{L} = \frac{f(\psi_s(x)) - f(\psi_{s0})}{f(\psi_{sL}) - f(\psi_{s0})}$$

これが、 $x$ における $\psi_s$ を与える。また、以下の $Q'_I$ の式から、 $x$ における $Q'_I$ も求まる。

$$Q'_I = -C'_{ox} (V_{GB} - V_{FB} - \psi_s - \gamma\sqrt{\psi_s})$$

# (B) 簡易チャージ・シート・モデルの導出(1)

$-\frac{Q'_B}{C'_{ox}}$ を簡単化する。  $\Rightarrow$  p. 9の $Q'_I$ 参照

$\psi_s = \psi_{se}$  ( $\psi_{s0} \sim \psi_{sa}$ までの任意点)でテイラー展開する。

$$\begin{aligned} -\frac{Q'_B}{C'_{ox}} &= \gamma\sqrt{\psi_{se}} + \frac{\gamma}{2\sqrt{\psi_{se}}}(\psi_s - \psi_{se}) \quad (\because Q'_B = -\gamma C'_{ox}\sqrt{\psi_s}) \\ &= \gamma\sqrt{\psi_{se}} + (\alpha - 1)(\psi_s - \psi_{se}) \quad \text{ここで、}\alpha = 1 + \frac{\gamma}{2\sqrt{\psi_{se}}} \end{aligned}$$

$$\left\{ \begin{aligned} f(\psi_s) &= f(\psi_{se}) + \left. \frac{df(\psi_s)}{d\psi_s} \right|_{\psi_s=\psi_{se}} (\psi_s - \psi_{se}) \\ f(\psi_s) &= -\frac{Q'_B}{C'_{ox}} = \gamma\sqrt{\psi_s} \end{aligned} \right.$$

したがって、 $Q'_I$ は次式になる。

$$Q'_I = -C'_{ox} [V_{GB} - V_{FB} - \psi_{se} - \gamma\sqrt{\psi_{se}} - \alpha(\psi_s - \psi_{se})]$$



# (B) 簡易チャージ・シート・モデルの導出(2)

$Q'_I$ から、 $dQ'_I/d\psi_s = \alpha C'_{ox}$ になるため、 $I_{DS1}$ は次式になる。

$$I_{DS1} = \frac{W}{L} \mu \int_{\psi_{s0}}^{\psi_{sL}} (-Q'_I) d\psi_s = \frac{W}{L} \mu \int_{Q'_{I0}}^{Q'_{IL}} (-Q'_I) \frac{1}{\alpha C'_{ox}} dQ'_I = \frac{W}{L} \frac{\mu}{2\alpha C'_{ox}} (Q'^2_{I0} - Q'^2_{IL})$$

一方、 $I_{DS2}$ は以前と変わらず、

$$I_{DS2} = \frac{W}{L} \mu \phi_t (Q'_{IL} - Q'_{I0}) \quad \left[ \begin{array}{l} Q'_{IL} = -C'_{ox} [V_{GB} - V_{FB} - \psi_{se} - \gamma \sqrt{\psi_{se}} - \alpha(\psi_{sL} - \psi_{se})] \\ Q'_{I0} = -C'_{ox} [V_{GB} - V_{FB} - \psi_{se} - \gamma \sqrt{\psi_{se}} - \alpha(\psi_{s0} - \psi_{se})] \end{array} \right]$$

となる。したがって、次式が得られる。

$$I_{DS1} = \frac{W}{L} \mu C'_{ox} \left[ (V_{GB} - V_{FB} - \gamma \sqrt{\psi_{se}} - \psi_{se} + \alpha \psi_{se})(\psi_{sL} - \psi_{s0}) - \frac{\alpha}{2} (\psi^2_{sL} - \psi^2_{s0}) \right] \Rightarrow \text{ドリフト電流}$$

$$I_{DS2} = \frac{W}{L} \mu C'_{ox} \alpha \phi_t (\psi_{sL} - \psi_{s0}) \Rightarrow \text{拡散電流}$$

# (B) 簡易チャージ・シート・モデルの導出(3)

(ソース参照モデル(ソース端で近似):  $\psi_{se} = \psi_{s0}$  として近似)

$\psi_{se} = \psi_{s0}$  として近似すると、 $I_{DS1}$ と $I_{DS2}$ は

$$I_{DS1} = \frac{W}{L} \mu C'_{ox} \left[ \left( V_{GB} - V_{FB} - \psi_{s0} - \gamma \sqrt{\psi_{s0}} \right) (\psi_{sL} - \psi_{s0}) - \frac{\alpha}{2} (\psi_{sL} - \psi_{s0})^2 \right] \Rightarrow \text{ドリフト電流}$$

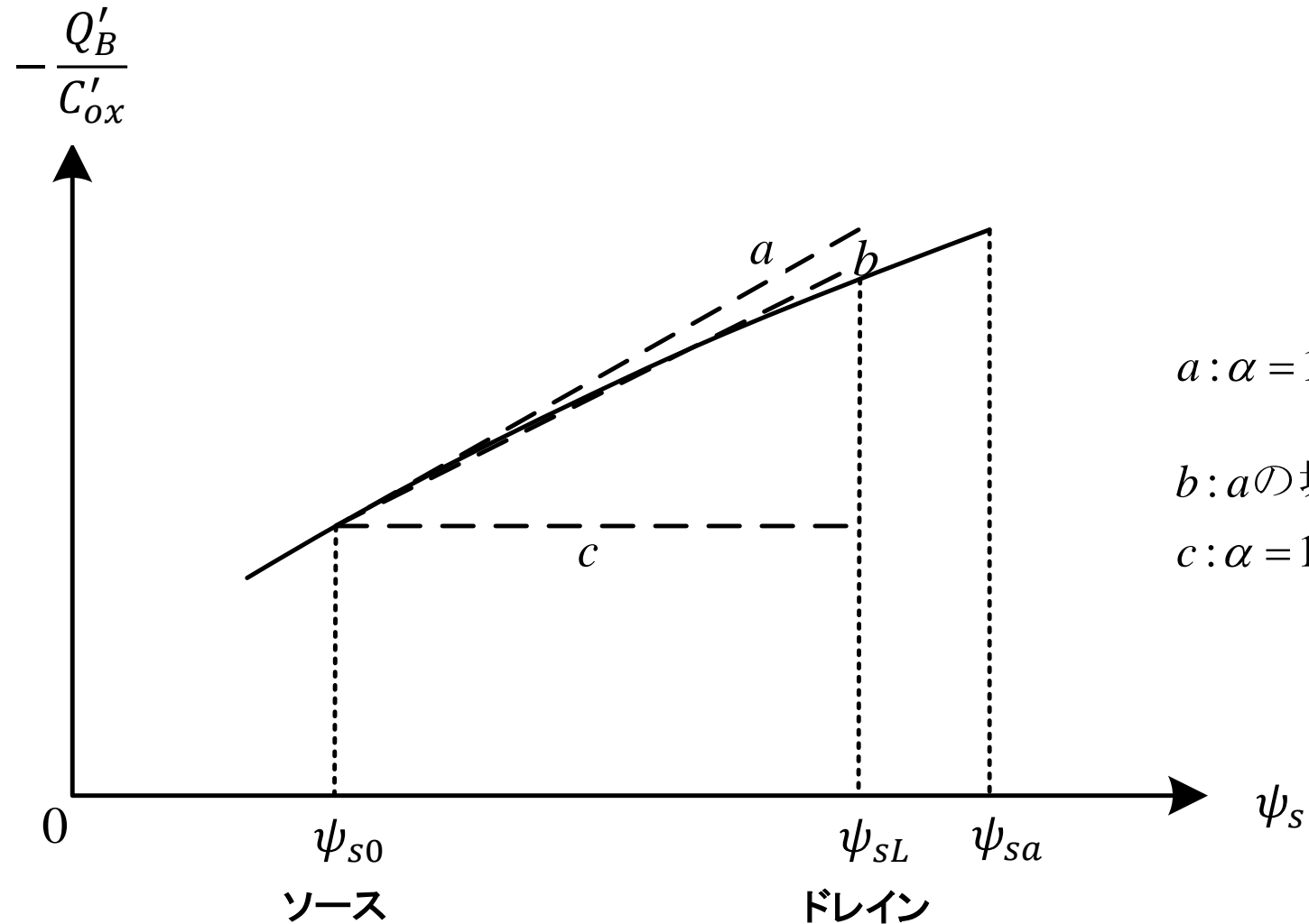
$$I_{DS2} = \frac{W}{L} \mu C'_{ox} \phi_t \alpha (\psi_{sL} - \psi_{s0}) \Rightarrow \text{拡散電流}$$

となる。また、 $\alpha$ は

$$\alpha = \alpha_1 = 1 + \frac{\gamma}{2\sqrt{\psi_{s0}}}$$

である。

(B)  $-\frac{Q'_B}{C'_{ox}}$  vs. 表面電位特性の近似 (ソース側での外挿)



$$a: \alpha = 1 + \frac{\gamma}{2\sqrt{\psi_{s0}}}$$

b: aの場合より僅かに小さい $\alpha$

$$c: \alpha = 1$$

# (B) 簡易チャージ・シート・モデルの導出(4)

( $\psi_{se} = \psi_{sa}$  として近似)

$\psi_{se} = \psi_{sa}$  として近似すると、

$$\alpha = n = 1 + \frac{\gamma}{2\sqrt{\psi_{sa}}}$$

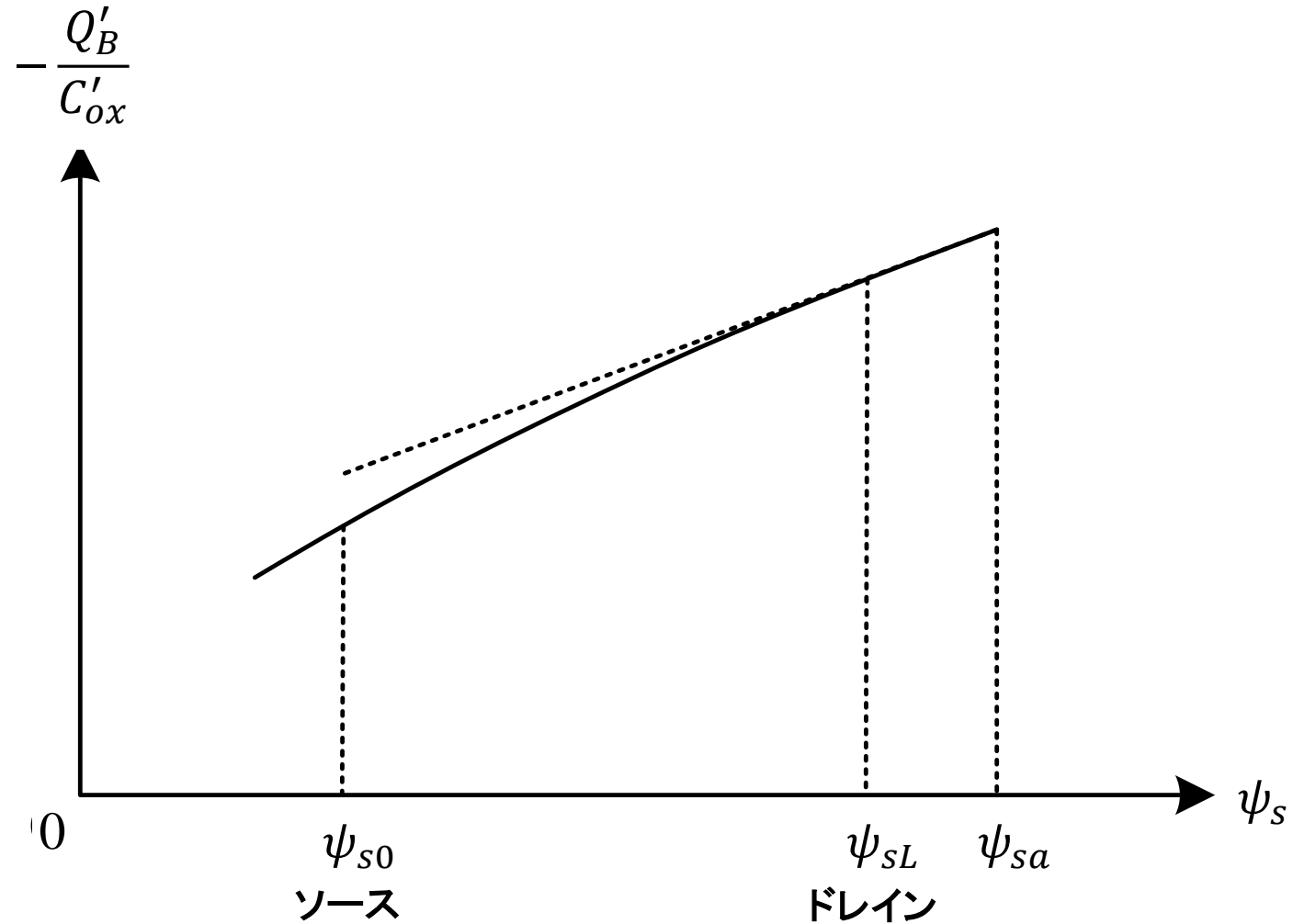
となり、 $I_{DS1}$ と $I_{DS2}$ は次式になる。

$$I_{DS1} = \frac{W}{L} \mu C'_{ox} \left[ \left( V_{GB} - V_{FB} - \frac{\gamma}{2} \sqrt{\psi_{sa}} \right) (\psi_{sL} - \psi_{s0}) - \frac{n}{2} (\psi_{sL}^2 - \psi_{s0}^2) \right] \Rightarrow \text{ドリフト電流}$$

$$I_{DS2} = \frac{W}{L} \mu C'_{ox} n \phi_t (\psi_{sL} - \psi_{s0}) \Rightarrow \text{拡散電流}$$

⇒  $\psi_s \approx \psi_{sa}$  では、 $Q'_I \ll Q'_B$ であるため、弱反転領域にある。  
⇒  $Q'_B$ が支配的であるとき、 $Q'_B$ の近似の精度は良い。  
⇒  $Q'_I$ が支配的であるとき、 $Q'_B$ の近似の精度は良くないが、  
全半導体電荷への $Q'_B$ の誤差の影響は少ない。

(B)  $-\frac{Q'_B}{C'_{ox}}$  vs. 表面電位特性の近似 ( $\psi_{sa}$  での外挿)



# (C) 順方向と逆方向電流 (対称モデル)

完全チャージ・シート・モデルを簡単化した式 ( $\alpha \Rightarrow n$ )

$$I_{DS1} = \frac{W}{L} \frac{\mu}{2nC'_{ox}} (Q'_{I0}{}^2 - Q'_{IL}{}^2) \quad , \quad I_{DS2} = \frac{W}{L} \mu \phi_t (Q'_{IL} - Q'_{I0}) \quad \Rightarrow \text{p. 17参照}$$

から、 $I_{DS1} + I_{DS2}$ を求めると、

$$\begin{aligned} I_{DS} &= \frac{W}{L} \mu \left[ \frac{1}{2nC'_{ox}} (Q'_{I0}{}^2 - Q'_{IL}{}^2) + \phi_t (Q'_{IL} - Q'_{I0}) \right] = \frac{W}{L} \mu \left( \frac{Q'_{I0}{}^2}{2nC'_{ox}} - \phi_t Q'_{I0} \right) - \frac{W}{L} \mu \left( \frac{Q'_{IL}{}^2}{2nC'_{ox}} - \phi_t Q'_{IL} \right) \\ &= I_F - I_R \end{aligned}$$

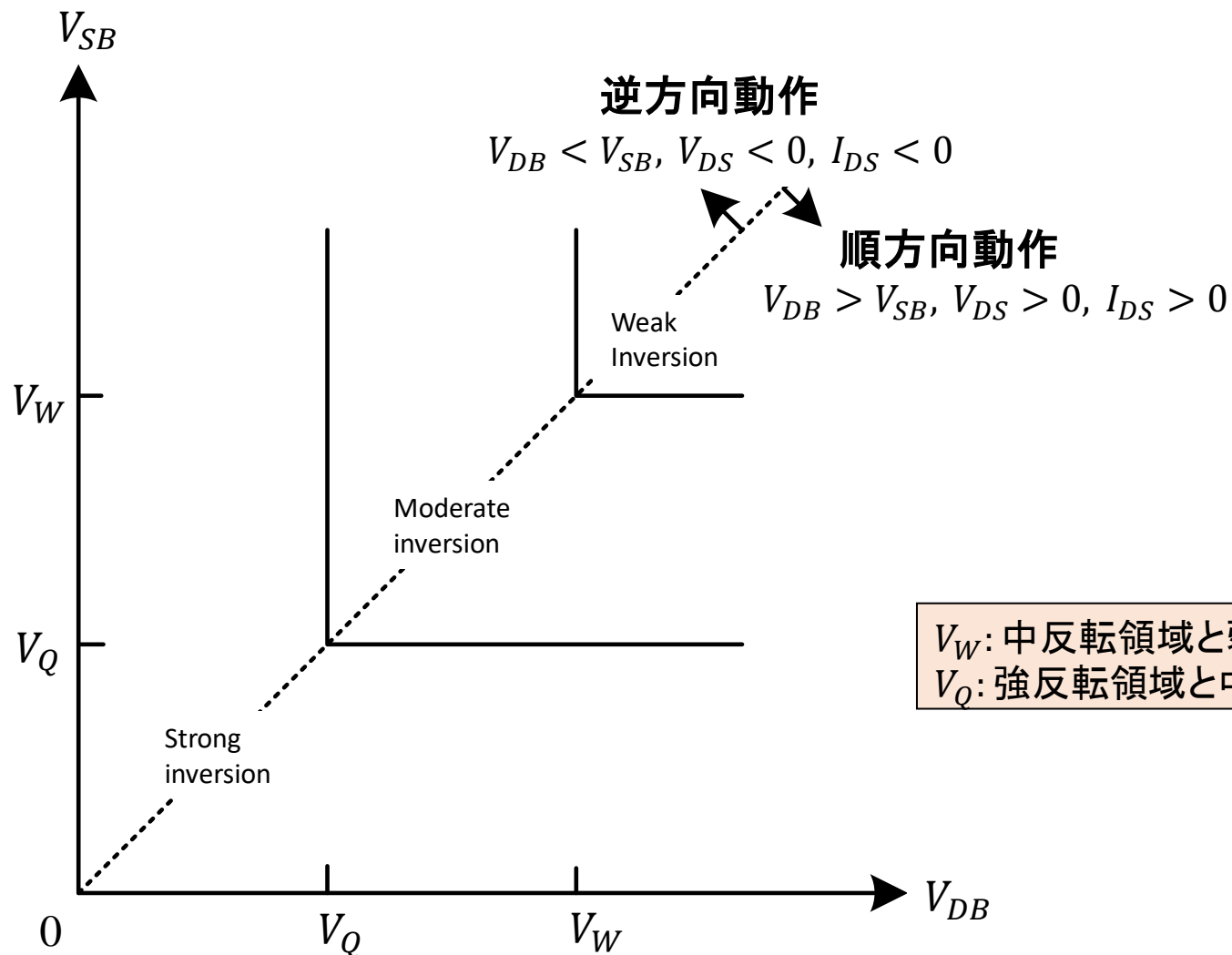
ここで、

$$I_F = \frac{W}{L} \mu \left( \frac{Q'_{I0}{}^2}{2nC'_{ox}} - \phi_t Q'_{I0} \right) \Rightarrow I_{DS,saturation} \quad (\text{順方向電流})$$

$$I_R = \frac{W}{L} \mu \left( \frac{Q'_{IL}{}^2}{2nC'_{ox}} - \phi_t Q'_{IL} \right) \Rightarrow -I_{DS,rev.saturation} \quad (\text{逆方向電流})$$

$$\begin{aligned} V_{DS} \text{大}: \psi_{sL} &\Rightarrow \psi_{sa}, \\ Q'_{IL} &\Rightarrow 0, \\ I_R &\Rightarrow 0 \\ V_{SB} \text{大}: \psi_{s0} &\Rightarrow \psi_{sa}, \\ Q'_{I0} &\Rightarrow 0, \\ I_F &\Rightarrow 0 \end{aligned}$$

# (C) MOSTランジスタの動作領域の定義



$V_W$ : 中反転領域と弱反転領域の境界での  $V_{SB}$ 、または  $V_{DB}$   
 $V_Q$ : 強反転領域と中反転領域の境界での  $V_{SB}$ 、または  $V_{DB}$

# (D) 完全対称強反転モデル

ソースとドレイン端とも強反転では、 $\psi_{s0}$ と $\psi_{sL}$ は以下で表される。

$$\psi_{s0} \approx \phi_0 + V_{SB}, \quad \psi_{sL} \approx \phi_0 + V_{DB} \quad \left[ \text{但し、} \phi_0 = 2\phi_F + \Delta\phi \quad (\Delta\phi = 6\phi_t) \right]$$

ここで、完全チャージ・シート・モデル(ドリフト成分)の以下の式を用いる。

$$I_{DS1} = \frac{W}{L} \mu C'_{ox} \left[ (V_{GB} - V_{FB})(\psi_{sL} - \psi_{s0}) - \frac{1}{2}(\psi_{sL}^2 - \psi_{s0}^2) - \frac{2}{3}\gamma(\psi_{sL}^{3/2} - \psi_{s0}^{3/2}) \right] \quad \Rightarrow \text{p. 9参照}$$

この式に、上の $\psi_{s0}$ と $\psi_{sL}$ を代入して、整理すると、( $I_{DS1} \Rightarrow I_{DSN}$ )

$$\begin{aligned} I_{DSN} &= \frac{W}{L} \mu C'_{ox} \left\{ (V_{GB} - V_{FB})(V_{DB} - V_{SB}) - \frac{1}{2}[(V_{DB} + \phi_0)^2 - (V_{SB} + \phi_0)^2] - \frac{2}{3}\gamma[(\phi_0 + V_{DB})^{3/2} - (\phi_0 + V_{SB})^{3/2}] \right\} \\ &= \frac{W}{L} \mu C'_{ox} \left\{ (V_{GB} - V_{FB} - \phi_0)(V_{DB} - V_{SB}) - \frac{1}{2}(V_{DB}^2 - V_{SB}^2) - \frac{2}{3}\gamma[(\phi_0 + V_{DB})^{3/2} - (\phi_0 + V_{SB})^{3/2}] \right\} \end{aligned}$$

これは、次式で表され、**ソースとドレインが対称**である。

$$I_{DSN} = \frac{W}{L} [g(V_{GB}, V_{DB}) - g(V_{GB}, V_{SB})]$$

$$\begin{cases} g(V_{GB}, V_{DB}) = \mu C'_{ox} \left[ (V_{GB} - V_{FB} - \phi_0)V_{DB} - \frac{1}{2}V_{DB}^2 - \frac{2}{3}\gamma(\phi_0 + V_{DB})^{3/2} \right] \\ g(V_{GB}, V_{SB}) = \mu C'_{ox} \left[ (V_{GB} - V_{FB} - \phi_0)V_{SB} - \frac{1}{2}V_{SB}^2 - \frac{2}{3}\gamma(\phi_0 + V_{SB})^{3/2} \right] \end{cases}$$



# (D) 完全対称強反転モデル(直接導出)

チャンネル内の点 $x$ では、 $\psi_s(x)$ は以下になる。

$$\psi_s(x) = \phi_0 + V_{CB}(x)$$

ここで、 $V_{CB}(0) = V_{SB}$ ,  $V_{CB}(L) = V_{DB}$ である。

$I_{DSN}$ はドリフト成分のみを考慮して、

$$I_{DSN} = \mu W (-Q'_I) \frac{d\psi_s}{dx} = \mu W (-Q'_I) \frac{dV_{CB}}{dx} \quad (\because \phi_0: \text{定数})$$

となる。これを、 $x = 0 (V_{CB} = V_{SB})$ から $x = L (V_{CB} = V_{DB})$ まで積分すると、

$$I_{DSN} = \frac{W}{L} \int_{V_{SB}}^{V_{DB}} \mu (-Q'_I) dV_{CB}$$

となる。 $Q'_I$ に次式を代入すと、完全対称強反転モデルが求まる。

$$\begin{aligned} Q'_I &= -C'_{ox} \left( V_{GB} - V_{FB} - \phi_0 - V_{CB} + \frac{Q'_B}{C'_{ox}} \right) \quad (Q'_B = -\gamma C'_{ox} \sqrt{\phi_0 + V_{CB}}) \\ &= -C'_{ox} (V_{GB} - V_{FB} - \phi_0 - V_{CB} - \gamma \sqrt{\phi_0 + V_{CB}}) = -C'_{ox} [V_{GB} - V_{TB}(V_{CB})] \end{aligned}$$

## (D) 完全対称強反転モデル(飽和点と飽和領域)

$dI_{DSN}/dV_{DB} = 0$ における $V_{DB}$ は、 $V_P$ (ピンチオフ電圧)となる。

$$V_P = \left( -\frac{\gamma}{2} + \sqrt{\frac{\gamma^2}{4} + V_{GB} - V_{FB}} \right) - \phi_0$$

ここで、 $\phi_0 = 2\phi_F$ とおくと、 $V_P = V_W$ (弱反転と中反転の境界)となる。  
これは、外部からの電圧として $V_{GB}$ で決まる値である。

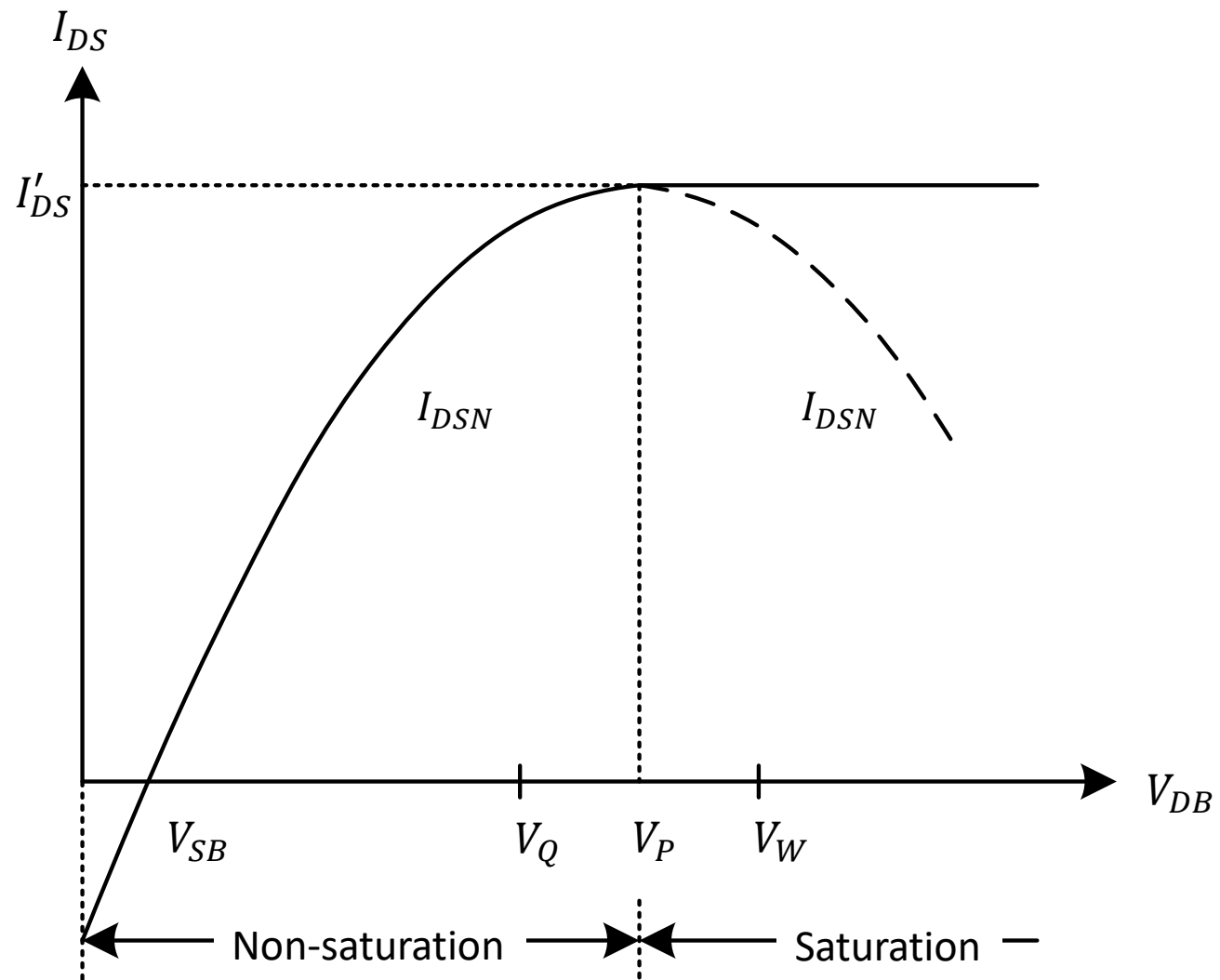
$V_P$ での電流(飽和電流:  $V_{SB} < V_{DB}$ )を  $I'_{DS} = I_{DSN} \Big|_{V_{DB}=V_P}$  とすると、 $I_{DS}$ は、

$$I_{DS} = \begin{cases} I_{DSN}, & V_{DB} \leq V_P \\ I'_{DS}, & V_{DB} > V_P \end{cases}$$

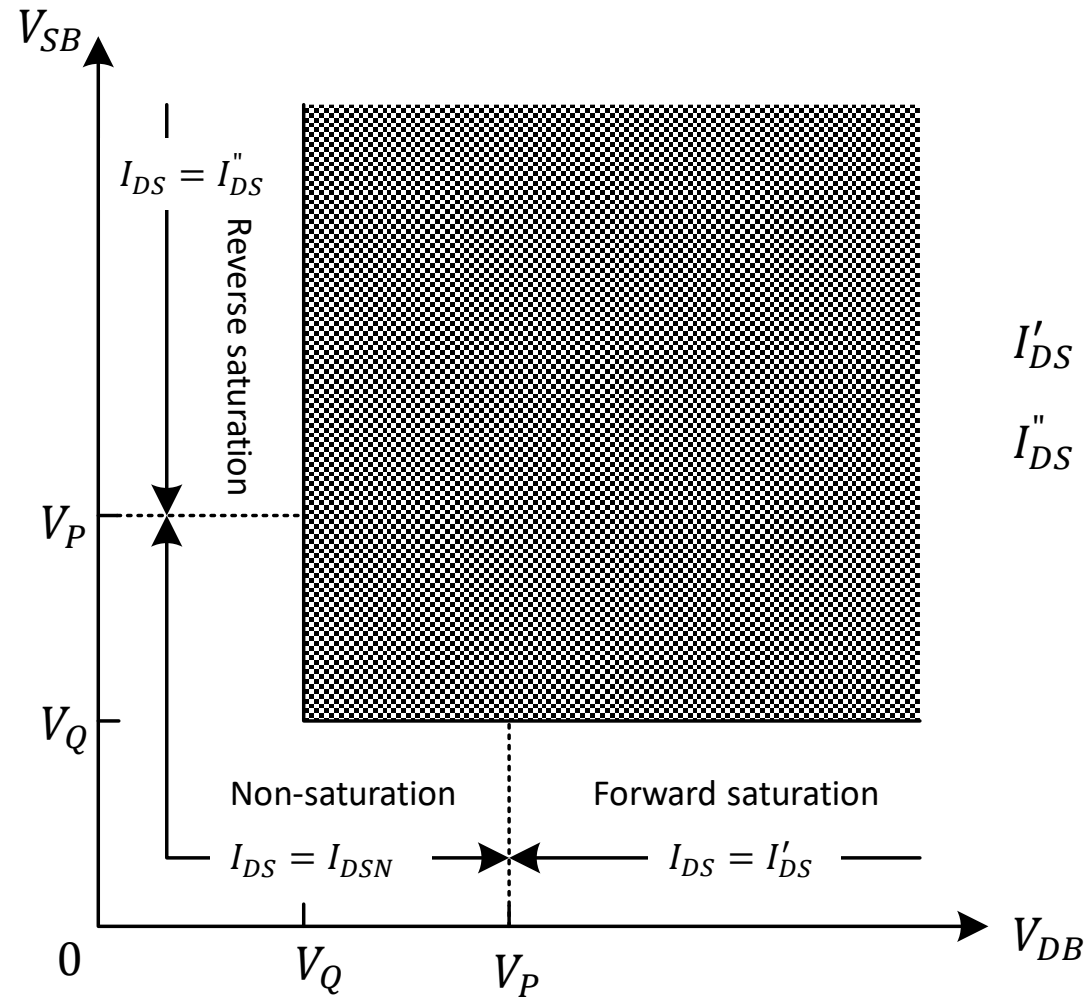
となる。また、 $V_{SB} > V_{DB}$ の場合の飽和電流は以下の如くなる。

$$I''_{DS} = I_{DSN} \Big|_{V_{SB}=V_P}$$

# (D) 完全対称強反転モデルでの $I_{DS}-V_{DB}$ 特性



# (D) 完全強反転モデル



$$I_{DS}' = I_{DSN} \Big|_{V_{DB}=V_P}$$
$$I_{DS}'' = I_{DSN} \Big|_{V_{SB}=V_P}$$

# (E) 簡易対称強反転モデル(1)

簡単化された対称モデル

$$I_{DS} = \frac{W}{L} \mu \left[ \frac{1}{2nC'_{ox}} (Q'_{I0}{}^2 - Q'_{IL}{}^2) + \phi_t (Q'_{IL} - Q'_{I0}) \right] \quad \Rightarrow \text{p. 22参照}$$

の[ ]内の第2項は拡散成分であるから、強反転領域ではこの項を無視して、

$$I_{DS} = \frac{W}{L} \mu \frac{1}{2nC'_{ox}} (Q'_{I0}{}^2 - Q'_{IL}{}^2) \quad \Rightarrow Q'_i \text{ に関し3端子MOS構造 p.30参照 (令和4年度版)}$$

(ピンチオフ近傍の反転層電荷(強反転の場合))

となる。  $Q'_{I0}$  と  $Q'_{IL}$  に  $Q'_i \approx -nC'_{ox}(V_P - V_{CB})$  を用いると、  $I_{DSN}$  (非飽和領域の  $I_{DS}$ ) は、以下になる。

$$I_{DSN} = \frac{W}{L} \mu C'_{ox} \frac{n}{2} [(V_P - V_{SB})^2 - (V_P - V_{DB})^2]$$

順方向飽和電流  $I'_{DS}$  と逆方向飽和電流  $I''_{DS}$  は、次式となる。

$$I'_{DS} = \frac{W}{L} \mu C'_{ox} \frac{n}{2} (V_P - V_{SB})^2 \quad (V_{DB} = V_P \text{ で飽和})$$

$$I''_{DS} = -\frac{W}{L} \mu C'_{ox} \frac{n}{2} (V_P - V_{DB})^2 \quad (V_{SB} = V_P \text{ で飽和})$$

$$V_P = \left( -\frac{\gamma}{2} + \sqrt{\frac{\gamma^2}{4} + V_{GB} - V_{FB}} \right)^2 - \phi_0$$
$$n = 1 + \frac{\gamma}{2\sqrt{\phi_0 + V_P}}$$

# (E) 簡易対称強反転モデル(2)

$V_P$  の近似を用いて、モデルを簡単化する。

$$V_P \approx \frac{V_{GB} - V_{T0}}{n} \quad (\text{但し、} V_{T0} = V_{FB} + \phi_0 + \gamma\sqrt{\phi_0})$$

⇒  $V_P$  に関し3端子MOS構造 p.29参照  
(令和4年度版)

これを、

(ピンチオフ電圧の別表現(2))

$$I_{DSN} = \frac{W}{L} \mu C'_{ox} \frac{n}{2} [(V_P - V_{SB})^2 - (V_P - V_{DB})^2]$$

に代入し、整理すると、

$$I_{DSN} = \frac{W}{L} \mu C'_{ox} \left[ (V_{GB} - V_{T0})(V_{DB} - V_{SB}) - \frac{n}{2} (V_{DB}^2 - V_{SB}^2) \right]$$

となる。 $I_{DSN}$  は、 $V_{DB} = V_P$  で  $dI_{DSN}/dV_{DB} = 0$  となる。

この場合、順方向飽和電流  $I'_{DS}$  と逆方向飽和電流  $I''_{DS}$  は、次式になる。

$$I'_{DS} = \frac{W}{L} \mu C'_{ox} \frac{1}{2n} (V_{GB} - V_{T0} - nV_{SB})^2, \quad I''_{DS} = -\frac{W}{L} \mu C'_{ox} \frac{1}{2n} (V_{GB} - V_{T0} - nV_{DB})^2$$

# (F) 簡易ソース参照強反転モデル

簡単化されたソース参照モデルの以下の式において、

$$I_{DS1} = \frac{W}{L} \mu C'_{ox} \left[ \left( V_{GB} - V_{FB} - \psi_{s0} - \gamma \sqrt{\psi_{s0}} \right) (\psi_{sL} - \psi_{s0}) - \frac{\alpha}{2} (\psi_{sL} - \psi_{s0})^2 \right] \Rightarrow \text{p. 18参照}$$

$\psi_{s0} = \phi_0 + V_{SB}$ 、 $\psi_{sL} = \phi_0 + V_{DB}$ を代入すると、強反転での非飽和電流は、

$$I_{DSN} = \frac{W}{L} \mu C'_{ox} \left[ (V_{GB} - V_{SB} - V_{FB} - \phi_0 - \gamma \sqrt{\phi_0 + V_{SB}}) (V_{DB} - V_{SB}) - \frac{\alpha}{2} (V_{DB} - V_{SB})^2 \right]$$

$$\text{但し、} \alpha = \alpha_1 = 1 + \frac{\gamma}{2\sqrt{\phi_0 + V_{SB}}}$$

となる。ここで、 $V_{DB} - V_{SB} = V_{DS}$ 、 $V_{GB} - V_{SB} = V_{GS}$ とおくと、次式を得る。

$$I_{DSN} = \frac{W}{L} \mu C'_{ox} \left[ \left( V_{GS} - V_T \Big|_{V_{SB}} \right) V_{DS} - \frac{\alpha}{2} V_{DS}^2 \right], \quad \text{但し、} V_T \Big|_{V_{SB}} = V_{FB} + \phi_0 + \gamma \sqrt{\phi_0 + V_{SB}}$$

# (F) 簡易ソース参照強反転モデル(直接導出:1)

直接導出する場合、 $-Q'_B/C'_{ox}$  の近似式を使う。 $V_{SB}$  の辺りで  $-Q'_B/C'_{ox}$  をテイラー展開(最初の2項までとる)すると、

$$-\frac{Q'_B}{C'_{ox}} \approx \gamma\sqrt{\phi_0 + V_{SB}} + (\alpha_1 - 1)(V_{CB} - V_{SB})$$

$\alpha_1 - 1$  は、 $-Q'_B/C'_{ox}$  vs.  $V_{CB}$  の  $V_{CB} = V_{SB}$  での傾きであり、 $\alpha_1 - 1 = \gamma/2\sqrt{\phi_0 + V_{SB}}$  である。 $\alpha_1$  は、 $-Q'_B/C'_{ox}$  を過剰に見積もっているため、その代わりに  $\alpha$  ( $\alpha < \alpha_1$ ) を考えると、 $-Q'_B/C'_{ox}$  は、以下になる。

$$-\frac{Q'_B}{C'_{ox}} \approx \gamma\sqrt{\phi_0 + V_{SB}} + (\alpha - 1)(V_{CB} - V_{SB})$$

これから、 $Q'_I$  は次式となる。

$$\begin{aligned} Q'_I &= -C'_{ox} \left( V_{GB} - V_{FB} - \phi_0 - V_{CB} + \frac{Q'_B}{C'_{ox}} \right) \\ &= -C'_{ox} [V_{GB} - V_{SB} - V_{FB} - \phi_0 - \gamma\sqrt{\phi_0 + V_{SB}} - \alpha(V_{CB} - V_{SB})] \end{aligned}$$



## (F) 簡易ソース参照強反転モデル(直接導出:2)

$Q'_I$ を以下の式に用い、

$$I_{DSN} = \frac{W}{L} \int_{V_{SB}}^{V_{DB}} \mu (-Q'_I) dV_{CB}$$

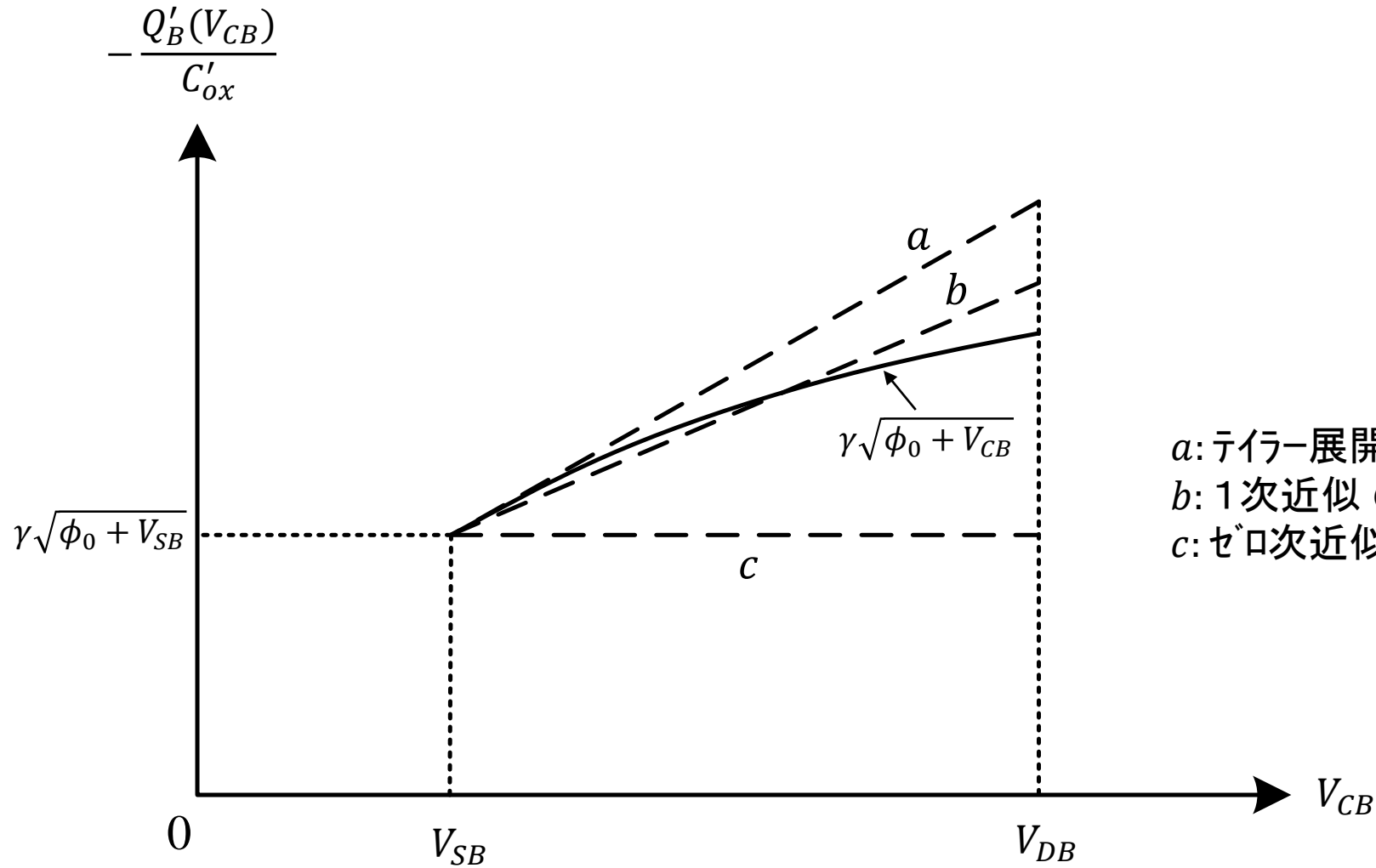
$V_{DB} = V_{DS} + V_{SB}$ 、 $V_{GB} = V_{GS} + V_{SB}$ として、積分を行うと、 $I_{DSN}$ は、(但し、 $\mu$ :一定)

$$I_{DSN} = \frac{W}{L} \mu C'_{ox} \left[ \left( V_{GS} - V_T \Big|_{V_{SB}} \right) V_{DS} - \frac{\alpha}{2} V_{DS}^2 \right]$$

$$\text{但し、} V_T \Big|_{V_{SB}} = V_{FB} + \phi_0 + \gamma \sqrt{\phi_0 + V_{SB}}$$

となり、簡単化されたソース参照モデルと同じになる。

# (F) 強反転での $-Q_B' / C_{ox}'$ とチャネル内の逆バイアス $V_{CB}$



- a: テイラー展開による1次近似 at  $V_{CB} = V_{SB}$
- b: 1次近似の改善
- c: ゼロ次近似

## (F) 簡易ソース参照強反転モデル(飽和点と飽和領域)

非飽和領域では、 $I_{DSN}$ は

$$I_{DSN} = \frac{W}{L} \mu C'_{ox} \left[ (V_{GS} - V_T) V_{DS} - \frac{\alpha}{2} V_{DS}^2 \right]$$

となる。ここで、

$$V_T = V_{FB} + \phi_0 + \gamma \sqrt{\phi_0 + V_{SB}} \quad \Rightarrow V_T \text{は} V_{SB} \text{に依存する。}$$

または、

$$V_T = V_{T0} + \gamma (\sqrt{\phi_0 + V_{SB}} - \sqrt{\phi_0}), \quad V_{T0} = V_{FB} + \phi_0 + \gamma \sqrt{\phi_0}$$

である。 $dI_{DSN}/dV_{DS} = 0$ のところで $V_{DS}$ ( $= V'_{DS}$ )は、 $V'_{DS} = (V_{GS} - V_T)/\alpha$ となる。この場合の電流 $I'_{DS}$ は、以下になる。

$$I'_{DS} = \frac{W}{L} \mu C'_{ox} \frac{(V_{GS} - V_T)^2}{2\alpha}$$

# (F) 簡易ソース参照強反転モデル(まとめ)

電流 $I_{DS}$ は,

$$I_{DS} = \begin{cases} I_{DSN}, & V_{DS} \leq V'_{DS} \\ I'_{DS}, & V_{DS} > V'_{DS} \end{cases}$$

すなわち、以下になる。

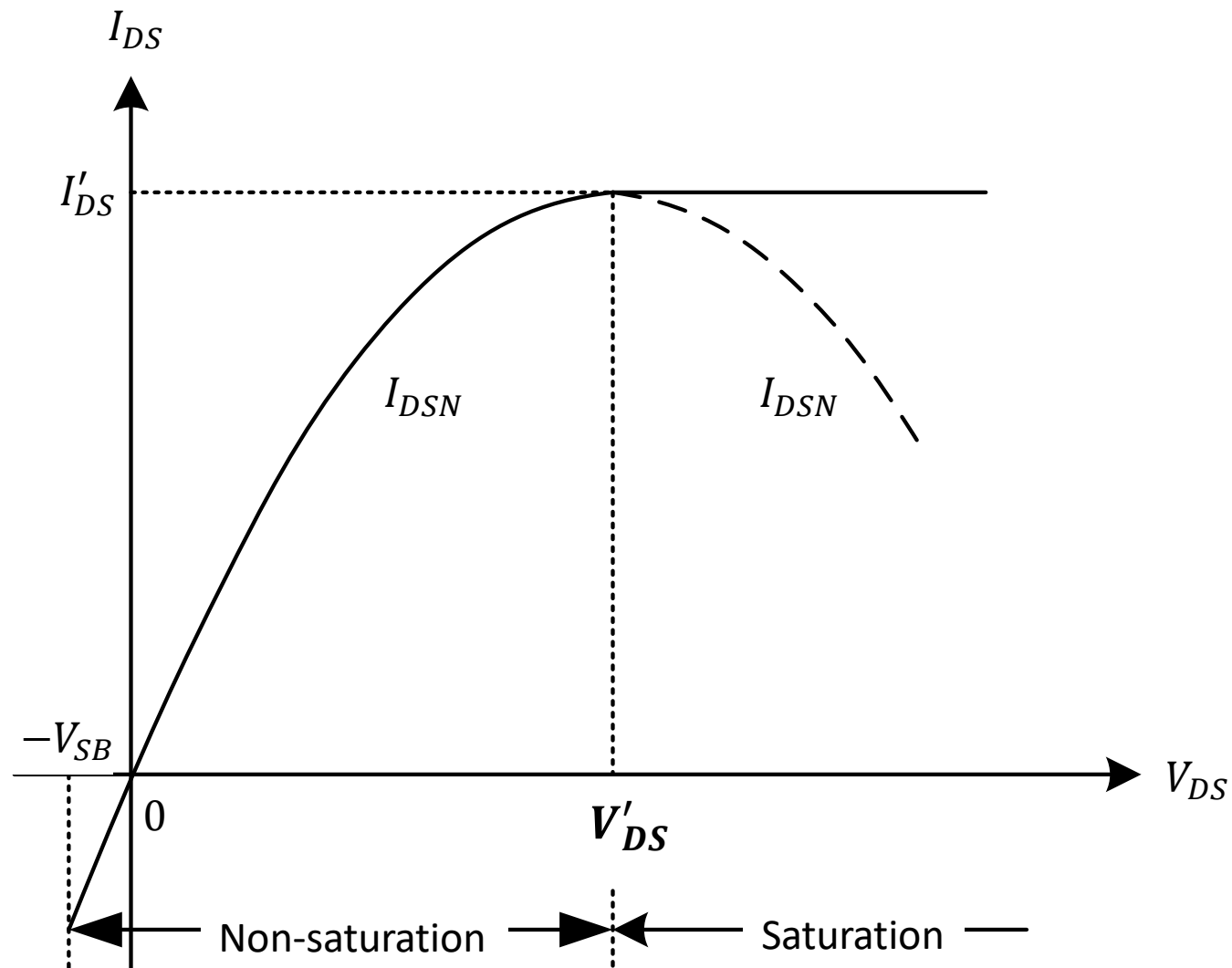
$$I_{DS} = \begin{cases} \frac{W}{L} \mu C'_{ox} \left[ (V_{GS} - V_T) V_{DS} - \frac{\alpha}{2} V_{DS}^2 \right], & V_{DS} \leq V'_{DS} \\ \frac{W}{L} \mu C'_{ox} \frac{(V_{GS} - V_T)^2}{2\alpha}, & V_{DS} > V'_{DS} \end{cases}$$

また、非飽和と飽和領域を一緒にして、 $I_{DS}$ は以下でも表される。

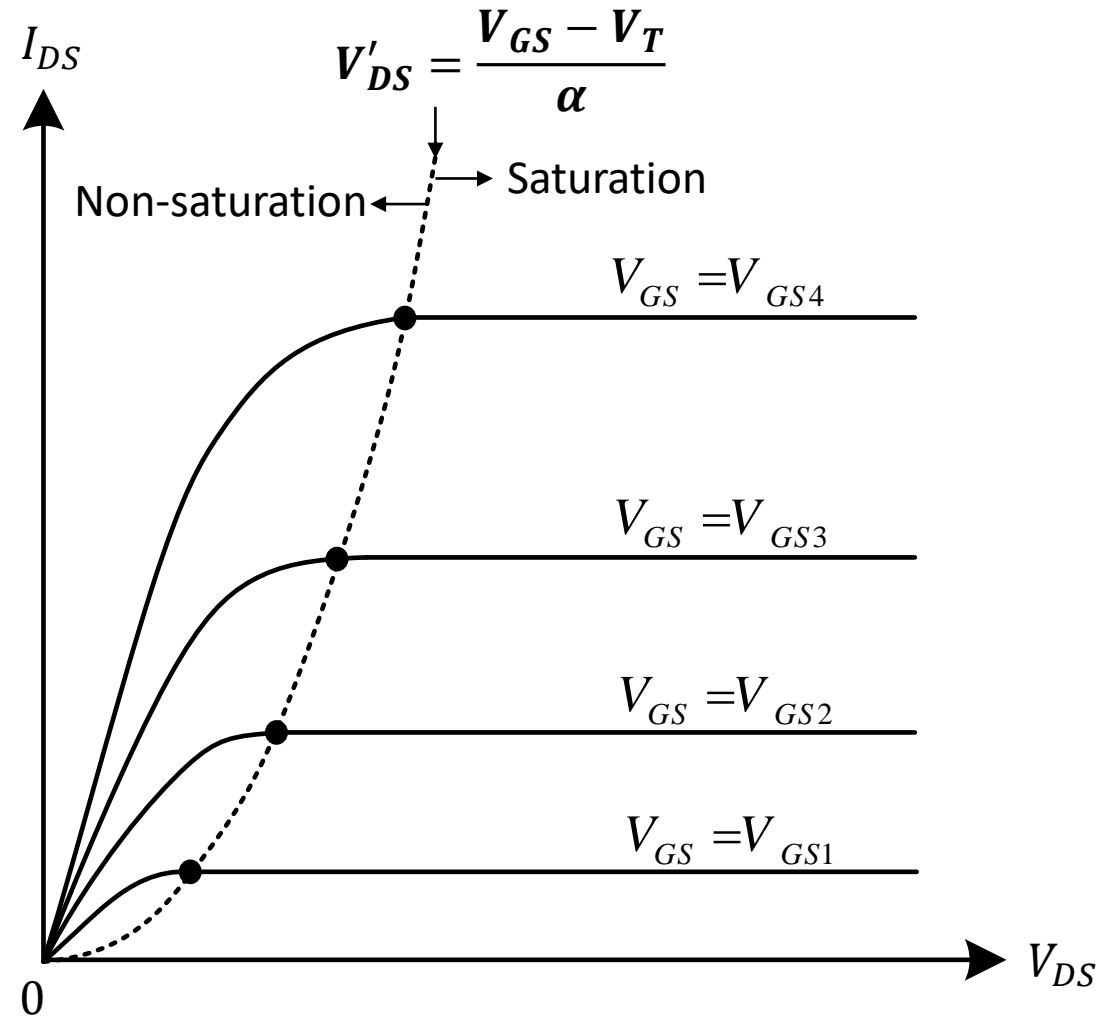
$$I_{DS} = I'_{DS} (1 - \eta^2)$$

$$\text{ここで、} \eta = \begin{cases} 1 - \frac{V_{DS}}{V'_{DS}}, & V_{DS} \leq V'_{DS} \\ 0, & V_{DS} > V'_{DS} \end{cases}$$

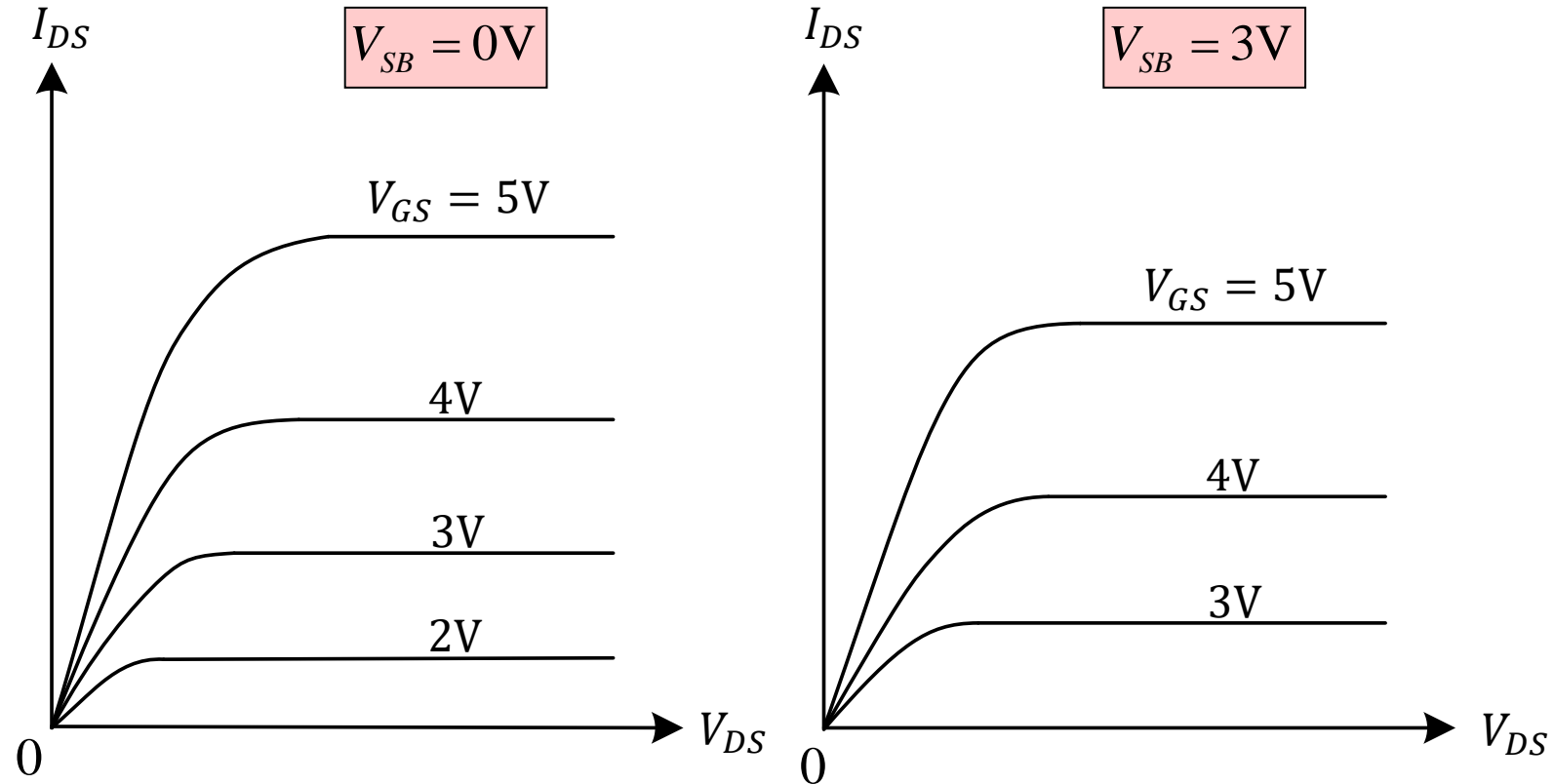
(F)  $I_{DS}-V_{DS}$ 特性: 含む  $V_{DS} > V_{DS}'$  (ソース参照強反転)



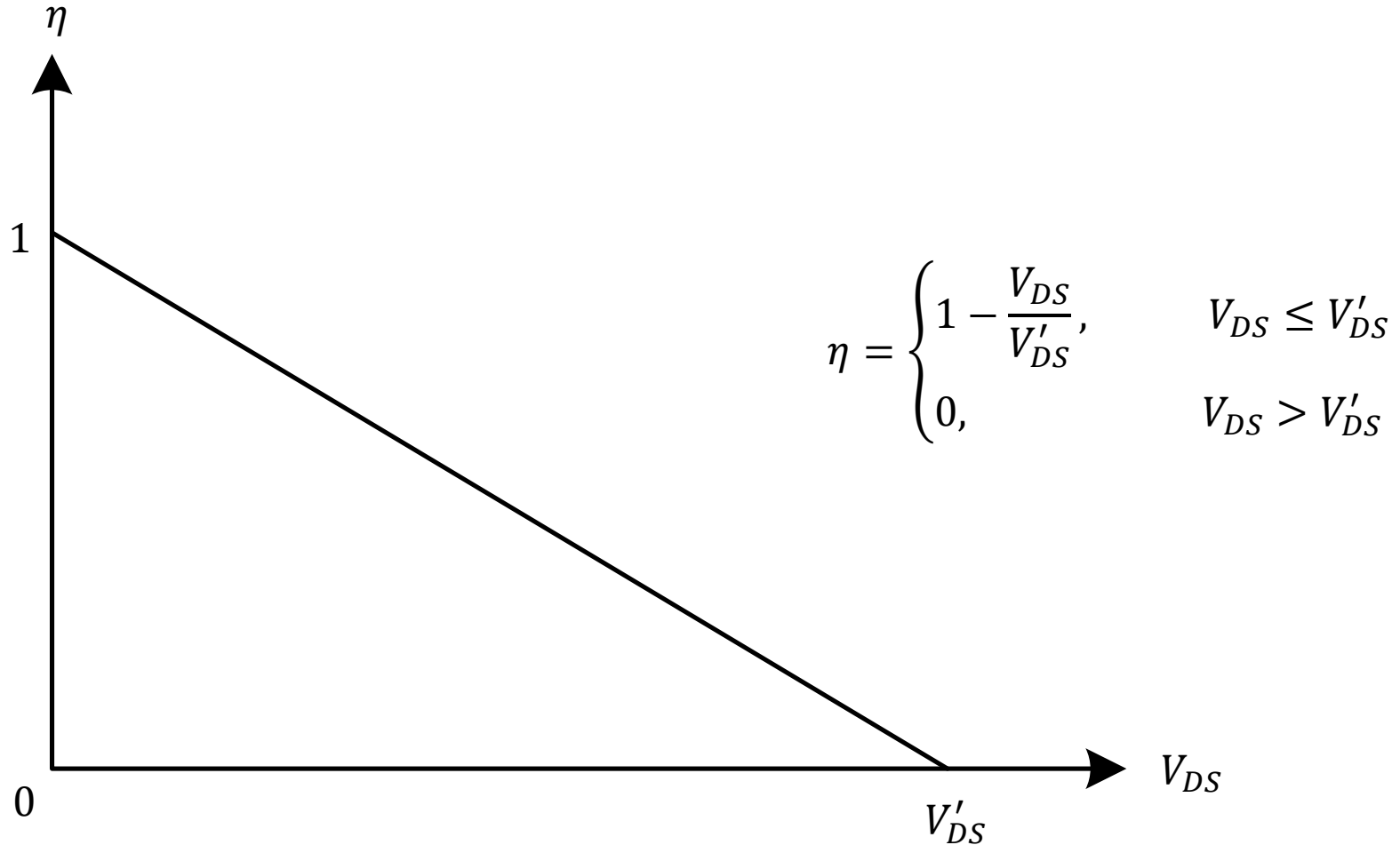
# (F) $I_{DS}-V_{DS}$ 特性(ソース参照強反転)



# (F) $V_{SB}$ を変えた場合の $I_{DS}-V_{DS}$ 特性



# (F) パラメータ $\eta$ vs. $V_{DS}$





# (F) $\alpha$ の近似 (1)

$$\alpha_0 = 1$$

- ⇒ チャンネルに沿った空乏層幅: 一定 (ソース端)
- ⇒  $|Q'_B|$  の過少見積もり
- ⇒  $|Q'_I|$  の過剰見積もり ( $I_{DS}$ 、 $V'_{DS}$  の過剰見積もり)

$$\alpha_1 = 1 + \frac{\gamma}{2\sqrt{\phi_0 + V_{SB}}}$$

- ⇒  $V_{DS} = V_{DB} - V_{SB}$  が小さい場合: 良い近似
- ⇒ 一般に、 $|Q'_B|$  の過剰見積もり
- ⇒  $|Q'_I|$  の過少見積もり ( $I_{DS}$ 、 $V'_{DS}$  の過少見積もり)

## (F) $\alpha$ の近似 (2)

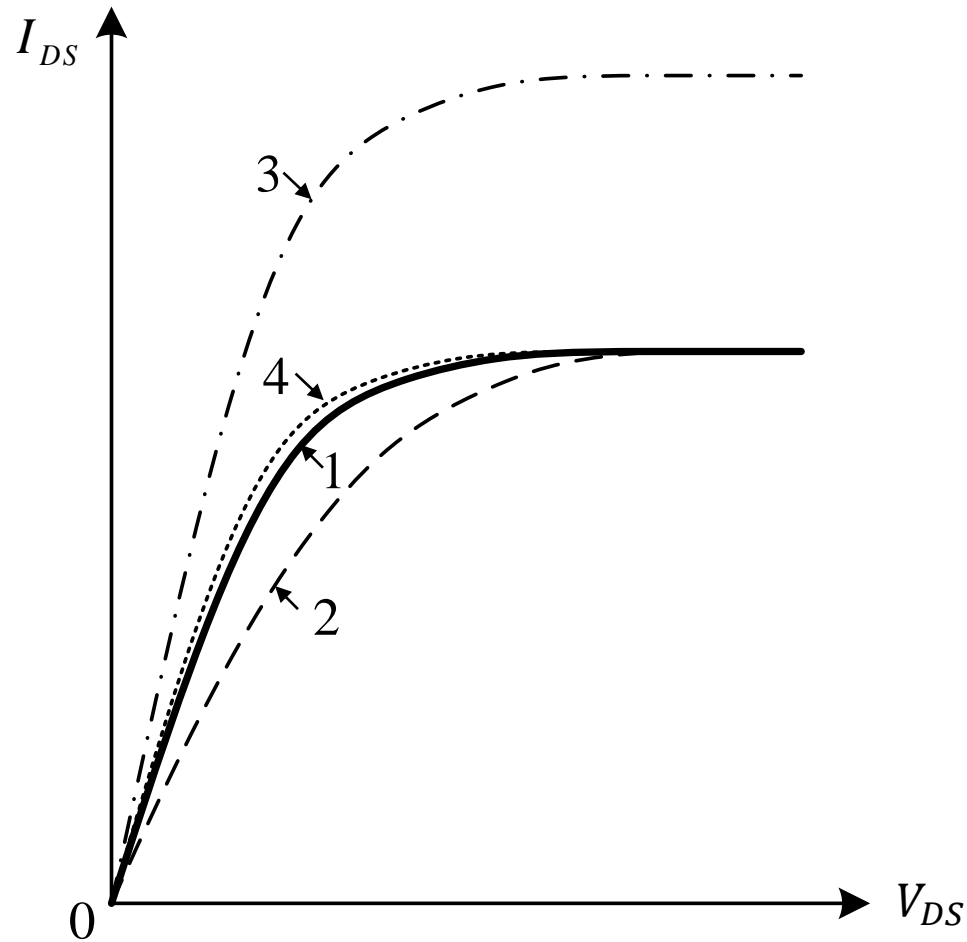
$$\alpha_2 = 1 + d_2 \frac{\gamma}{2\sqrt{\phi_0 + V_{SB}}} \quad d_2: \text{修正係数}(0.5 \sim 0.8)$$

$$d_2 = 1 - [k_1 + k_2(\phi_B + V_{SB})]^{-1} \quad k_1, k_2: \text{定数}$$

$$\alpha_3 = 1 + \frac{\gamma}{2\sqrt{\phi_3 + \phi_0 + V_{SB}}} \quad \phi_3 = 1$$

$$\alpha_4 = 1 + \frac{\gamma}{4\sqrt{\phi_0}}$$

# (F) $I_{DS}$ vs. $V_{DS}$ 特性 ( $\alpha$ : パラメータ)



- 1 測定
- 2  $\alpha=1$ : 飽和領域でフィッティング
- 3  $\alpha=1$ : 低 $V_{DS}$ 領域でフィッティング
- 4  $\alpha=1.7$ でフィッティング

# (F) チャンネルの任意点における電位(1)

強反転領域での電流 $I_{DSN}$ は、

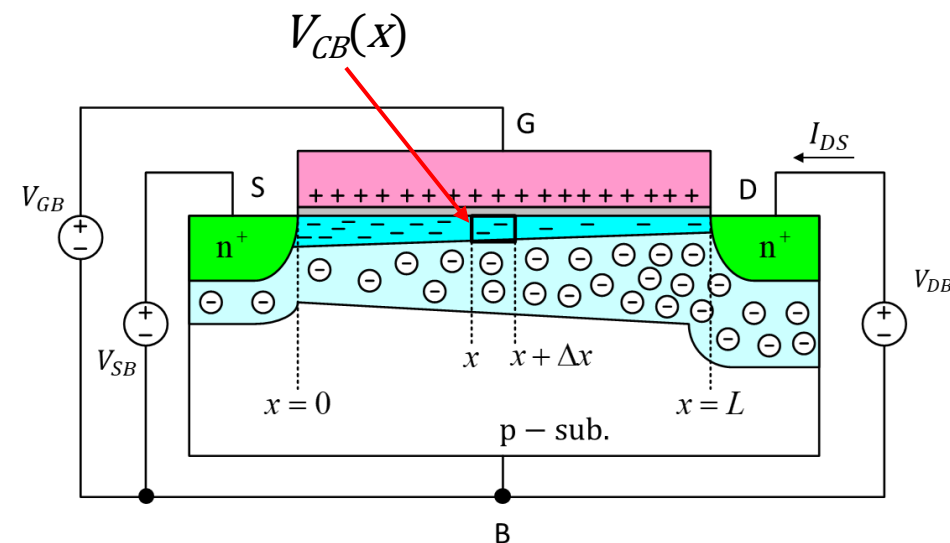
$$I_{DSN} = \frac{W}{L} h(V_{GB}, V_{SB}, V_{DB})$$

で表される。ここで、 $h$ は関数である。  
チャンネルに沿う点 $x$ での電流は、以下になる。

$$I_{DSN} = \frac{W}{x} h(V_{GB}, V_{SB}, V_{CB}(x))$$

上2式から、 $x$ と $V_{CB}(x)$ の以下の関係を得る。

$$\frac{x}{L} = \frac{h(V_{GB}, V_{SB}, V_{CB}(x))}{h(V_{GB}, V_{SB}, V_{DB})}$$



# (F) チャンネルの任意点における電位(2)

電流 $I_{DS}$ は,

$$I_{DS} = \frac{W}{L} \mu C'_{ox} \frac{(V_{GS} - V_T)^2}{2\alpha} (1 - \eta^2)$$

ここで,

$$\eta = \begin{cases} 1 - \frac{V_{DS}}{V'_{DS}}, & V_{DS} \leq V'_{DS} \\ 0, & V_{DS} > V'_{DS} \end{cases}, \quad V'_{DS} = \frac{V_{GS} - V_T}{\alpha}$$

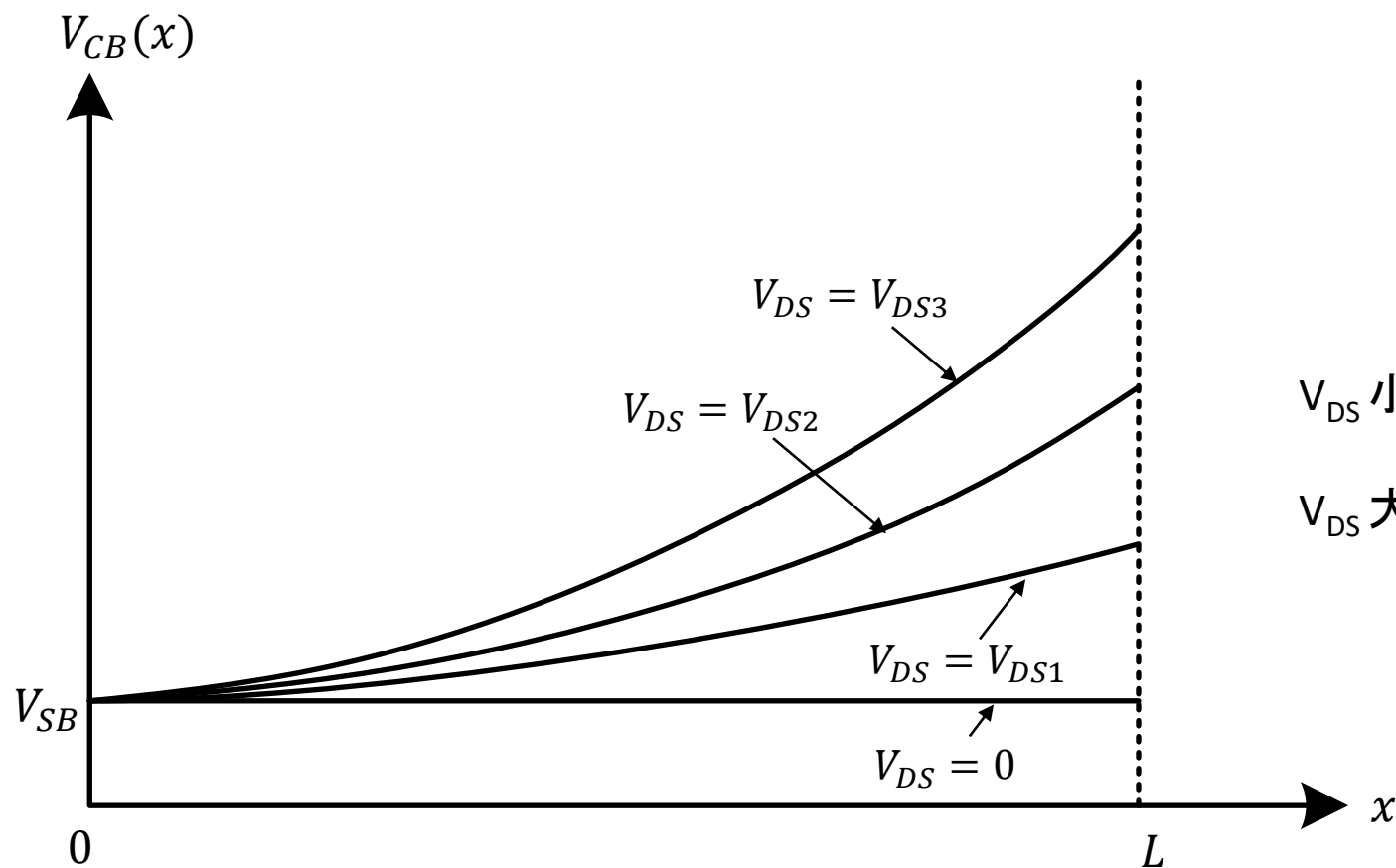
である。チャンネルに沿う点 $x$ での電流は、以下になる。

$$I_{DS} = \frac{W}{x} \mu C'_{ox} \frac{(V_{GS} - V_T)^2}{2\alpha} \left\{ 1 - \left[ 1 - \frac{\alpha}{V_{GS} - V_T} (V_{CB}(x) - V_{SB}) \right]^2 \right\}$$

$I_{DS}$ に関する上2式を等しいとして解くと、 $V_{CB}(x)$ は次式になる。

$$V_{CB}(x) = V_{SB} + \frac{V_{GS} - V_T}{\alpha} \left[ 1 - \sqrt{1 - \frac{x}{L} (1 - \eta^2)} \right]$$

# (F) チャンネルに沿っての基板からの電位



$V_{DS}$  小  $\Rightarrow$  チャンネル電位の傾きは  
ほぼ一定

$V_{DS}$  大  $\Rightarrow$  チャンネル電位の傾きは  
ドレイン側でより大きくなる

# (G) 弱反転モデル(基本)

弱反転領域では、表面電位 $\psi_s$ は、

$$\psi_s \approx \psi_{sa}(V_{GB})$$
$$\psi_{sa}(V_{GB}) = \left( -\frac{\gamma}{2} + \sqrt{\frac{\gamma^2}{4} + V_{GB} - V_{FB}} \right)^2$$

となり、 $V_{GB}$ の関数になる。

⇒  $Q'_B$ はチャネル位置に依存しない。

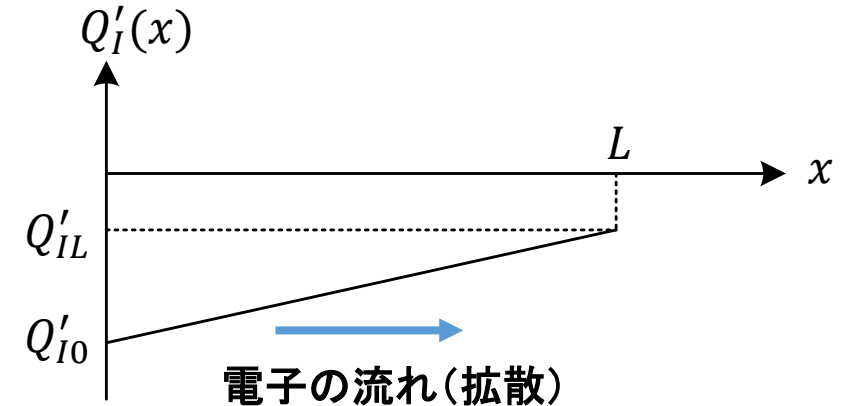
(空乏層深さはチャネルに沿って一定)

⇒ チャネルに沿って同じ電位

(電流は拡散成分のみ存在:ドリフト成分はない)

したがって、ここでは完全チャージ・シート・モデルの拡散成分を用いる。

$$I_{DS} = \frac{W}{L} \mu \phi_t (Q'_{IL} - Q'_{IO})$$



# (G) 弱反転モデル(対称モデル)

弱反転領域の電荷の式(空乏領域でも成立)

$$Q'_I = -\frac{\sqrt{2q\varepsilon_s N_A}}{2\sqrt{\psi_{sa}(V_{GB})}} \phi_t e^{[\psi_{sa}(V_{GB})-2\phi_F]/\phi_t} \cdot e^{-V_{CB}/\phi_t} \quad \Rightarrow \text{3端子MOS構造 p.20参照(令和4年度版)}$$

を用いると、 $Q'_{I0}$ ,  $Q'_{IL}$ は以下になる。

$$Q'_{I0} = -\frac{\sqrt{2q\varepsilon_s N_A}}{2\sqrt{\psi_{sa}(V_{GB})}} \phi_t e^{(\psi_{sa}(V_{GB})-2\phi_F)/\phi_t} \cdot e^{-V_{SB}/\phi_t}, \quad Q'_{IL} = -\frac{\sqrt{2q\varepsilon_s N_A}}{2\sqrt{\psi_{sa}(V_{GB})}} \phi_t e^{(\psi_{sa}(V_{GB})-2\phi_F)/\phi_t} \cdot e^{-V_{DB}/\phi_t}$$

したがって、弱反転領域の $I_{DS}$ は、以下になる。

$$I_{DS} = \frac{W}{L} \mu \phi_t (Q'_{IL} - Q'_{I0}) = \frac{W}{L} \hat{I}(V_{GB}) (e^{-V_{SB}/\phi_t} - e^{-V_{DB}/\phi_t})$$

$$\text{但し、} \hat{I}(V_{GB}) = \mu \frac{\sqrt{2q\varepsilon_s N_A}}{2\sqrt{\psi_{sa}(V_{GB})}} \phi_t^2 e^{(\psi_{sa}(V_{GB})-2\phi_F)/\phi_t}$$



# (G) 弱反転モデル(対称モデル別表現)

弱反転の $I_{DS}$ (対称モデル)の式で、

$$\psi_{sa} = V_P + \phi_0, \quad n = 1 + \frac{\gamma}{2\sqrt{\phi_0 + V_P(V_{GB})}}, \quad \gamma = \frac{\sqrt{2q\epsilon_s N_A}}{C'_{ox}}$$

を用いると、以下を得る。

$$I_{DS} = \frac{W}{L} \mu C'_{ox} (n-1) e^{(\phi_0 - 2\phi_F)/\phi_t} \phi_t^2 \left[ e^{(V_P - V_{SB})/\phi_t} - e^{(V_P - V_{DB})/\phi_t} \right]$$

更に、 $V_P = (V_{GB} - V_{T0})/n$ を用いると、

$$I_{DS} = \frac{W}{L} \mu C'_{ox} (n-1) e^{(\phi_0 - 2\phi_F)/\phi_t} \phi_t^2 \left[ e^{(V_{GB} - V_{T0} - nV_{SB})/(n\phi_t)} - e^{(V_{GB} - V_{T0} - nV_{DB})/(n\phi_t)} \right]$$

を得る。

# (G) 弱反転モデル(ソース参照モデル)

弱反転での電流式は、以下である。

$$I_{DS} = \frac{W}{L} \mu \phi_t (Q'_{IL} - Q'_{IO}) = -\frac{W}{L} \mu \phi_t Q'_{IO} \left( 1 - \frac{Q'_{IL}}{Q'_{IO}} \right)$$

ここで、 $Q'_{IL}/Q'_{IO} = e^{-(V_{DB}-V_{SB})/\phi_t} = e^{-V_{DS}/\phi_t}$  であるから、 $I_{DS}$ は以下になる。 ⇒ p. 48参照

$$I_{DS} = \frac{W}{L} \mu \phi_t (-Q'_{IO}) (1 - e^{-V_{DS}/\phi_t})$$

ここで、 $Q'_{IO} \approx Q'_M e^{(V_{GS}-V_M)/(n\phi_t)}$  を用いると、 $I_{DS}$  ( $V_{SB} = V'_{SB}$ で固定)は以下になる。

$$I_{DS} = \frac{W}{L} I'_M e^{(V_{GS}-V_M)/(n\phi_t)} (1 - e^{-V_{DS}/\phi_t})$$

$$\left\{ I'_M = \mu \frac{\sqrt{2q\epsilon_s N_A}}{2\sqrt{2\phi_F + V'_{SB}}} \phi_t^2, \quad V_M = V_{FB} + 2\phi_F + \gamma \sqrt{2\phi_F + V'_{SB}}, \quad n = 1 + \frac{\gamma}{2\sqrt{2\phi_F + V'_{SB}}} \right\}$$

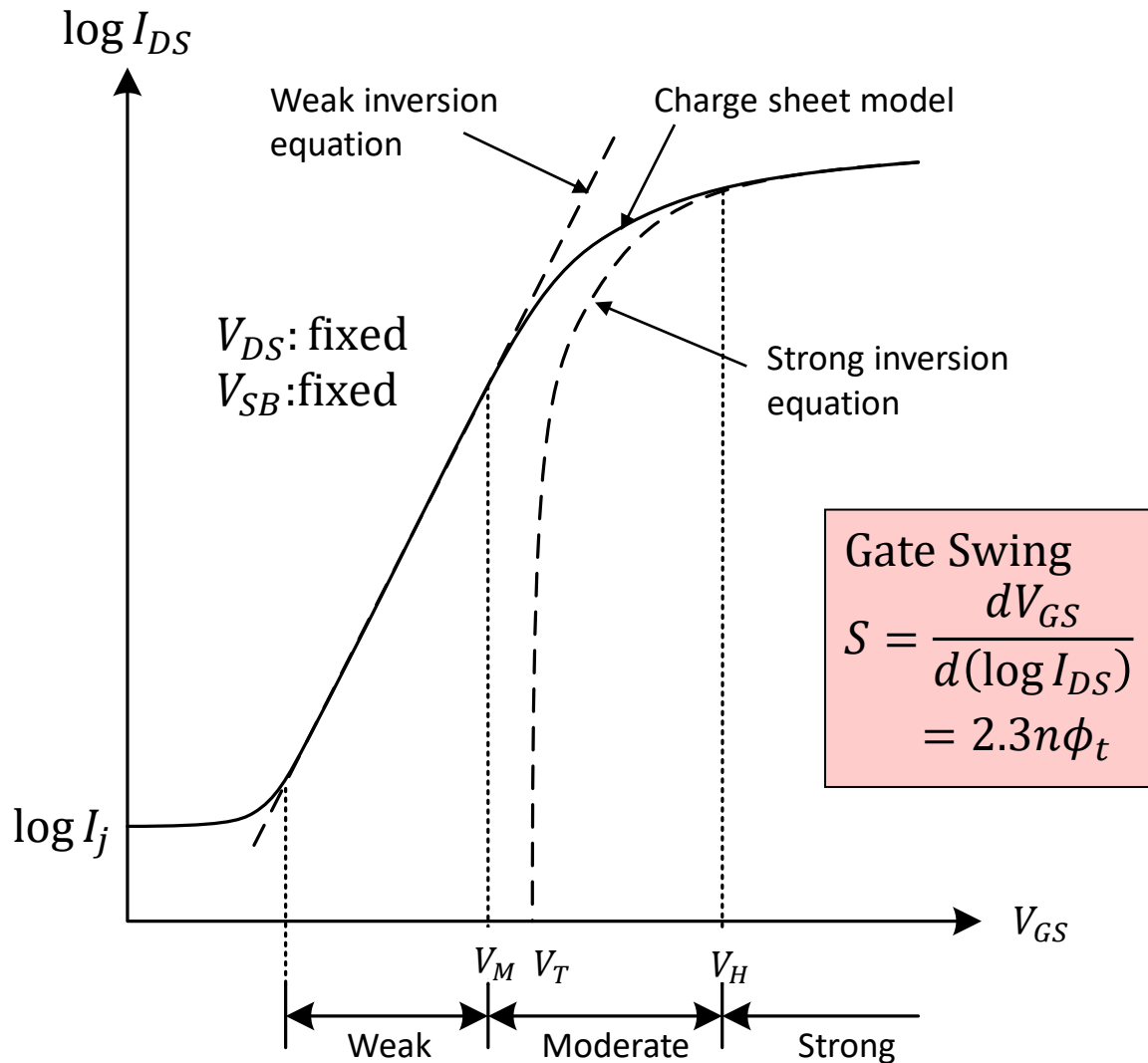
$Q'_{IO}$ に関し、3端子MOS構造のp.21参照  
(令和4年度版)

$$Q'_I \approx Q'_M e^{(V_{GC}-V_M)/(n\phi_t)} \quad Q'_I \rightarrow Q'_{IO}$$

$$Q'_M = -\frac{\sqrt{2q\epsilon_s N_A}}{2\sqrt{2\phi_F + V'_{CB}}} \phi_t \quad V'_{CB} \rightarrow V'_{SB}$$

$$V_{GC} \rightarrow V_{GS}$$

# (G) Log $I_{DS}$ vs. $V_{GS}$ 特性



弱反転モデル(ソース参照モデル)

$$I_{DS} \propto \exp\left(\frac{V_{GS} - V_M}{n\phi_t}\right)$$

$$\ln(I_{DS}) = \frac{\log(I_{DS})}{\log(e)} \propto \frac{V_{GS} - V_M}{n\phi_t}$$

$$\log(I_{DS}) \propto \log(e) \frac{V_{GS} - V_M}{n\phi_t}$$

$$\frac{d\log(I_{DS})}{dV_{GS}} = \log(e) \frac{1}{n\phi_t}$$

$$\frac{dV_{GS}}{d\log(I_{DS})} = \frac{n\phi_t}{\log(e)} = 2.3n\phi_t$$

# EKVモデル(対称モデルへの展開1)

■ EKVのモデル式は、以下である。

$$I_{DS} = \frac{W}{L} \mu C'_{ox} (2n) \phi_t^2 \left\{ \left[ \ln(1 + e^{(V_P - V_{SB})/(2\phi_t)}) \right]^2 - \left[ \ln(1 + e^{(V_P - V_{DB})/(2\phi_t)}) \right]^2 \right\}$$

非飽和と飽和の全領域で使用。漸近的に弱反転と強反転に近づく。

■ 弱反転領域  $\Rightarrow$  指数項  $\ll 1$  であるから、 $\ln(1 + x) \approx x$ ,  $|x| \ll 1$ から

$$I_{DS} = \frac{W}{L} \mu C'_{ox} (2n) \phi_t^2 \left[ e^{(V_P - V_{SB})/\phi_t} - e^{(V_P - V_{DB})/\phi_t} \right]$$

が得られる。これは、弱反転(対称モデル)の別表現の式で  $(n - 1)e^{(\phi_0 - 2\phi_F)/\phi_t}$  を  $2n$ とおいたものになる。

■ 強反転かつ非飽和領域  $\Rightarrow$  指数項  $\gg 1$  であるから、 $[\ln(1 + e^y)]^2 \approx (\ln e^y)^2 = y^2$ ,  $e^y \gg 1$ から

$$I_{DS} = \frac{W}{L} \mu C'_{ox} \frac{n}{2} [(V_P - V_{SB})^2 - (V_P - V_{DB})^2] \quad \Rightarrow \text{p.30 参照}$$

となる。これは、簡単化された対称強反転モデルになる。

# EKVモデル(対称モデルへの展開2)

EKVの式で、 $V_{DS}$ が大きくなると、2番目の指数関数は無視でき、

$$I_{DS} = I'_{DS} = \frac{W}{L} \mu C'_{ox} \frac{n}{2} (V_P - V_{SB})^2 \quad (V_{DB} = V_P \text{で飽和})$$

となる。 $I'_{DS}$ は順方向飽和電流である。また、EKVの式に $V_P = (V_{GB} - V_{T0})/n$ を代入すると、

$$I_{DS} = \frac{W}{L} \mu C'_{ox} (2n) \phi_t^2 \left\{ \left[ \ln(1 + e^{(V_{GB} - V_{T0} - nV_{SB})/(2n\phi_t)}) \right]^2 - \left[ \ln(1 + e^{(V_{GB} - V_{T0} - nV_{DB})/(2n\phi_t)}) \right]^2 \right\}$$

となる。強反転の下では、指数項  $\gg 1$  であるため、

$$\begin{aligned} I_{DS} &= \frac{W}{L} \mu C'_{ox} \frac{1}{2n} [(V_{GB} - V_{T0} - nV_{SB})^2 - (V_{GB} - V_{T0} - nV_{DB})^2] \\ &= \frac{W}{L} \mu C'_{ox} \left[ (V_{GB} - V_{T0})(V_{DB} - V_{SB}) - \frac{n}{2} (V_{DB}^2 - V_{SB}^2) \right] \quad \Rightarrow \text{p.30 参照} \end{aligned}$$

すなわち、**単純化された対称強反転モデルの式**になる。

# EKVモデル(展開時の誤差)

弱反転領域では、指数項  $\ll 1$  であるから、

$$I_{DS} = \frac{W}{L} \mu C'_{ox} (2n) \phi_t^2 \left[ e^{(V_{GB} - V_{T0} - nV_{SB}) / (n\phi_t)} - e^{(V_{GB} - V_{T0} - nV_{DB}) / (n\phi_t)} \right]$$

となる。これは、弱反転(対称モデル)の別表現の式で  $(n-1)e^{(\phi_0 - 2\phi_F) / \phi_t}$  を  $2n$  とおいたものとなる。この置換えによる誤差は、 $V_{T0}$  を少し増大させることで  $I_{DS}$  を正しい値に近づけることができる。

$V_{T0}$  は指数関数内にあるため、ほんの少しの増大で対応できる。したがって、この増大があっても強反転領域での誤差は少ない。

例えば、強反転飽和領域での電流式は、

$$I_{DS} = \frac{W}{L} \mu C'_{ox} \frac{1}{2n} (V_{GB} - V_{T0} - nV_{SB})^2$$

となり、括弧内の値は大きいので、 $V_{T0}$  の僅かな変化は  $I_{DS}$  への大きな誤差にはならない。

# EKVモデル(ソース参照モデル1)

■ EKVモデルをソース参照モデルに変えると、以下になる。

$$I_{DS} = \frac{W}{L} \mu C'_{ox} (2n) \phi_t^2 \left\{ \left[ \ln(1 + e^{(V_{GS}-V_T)/(2n\phi_t)}) \right]^2 - \left[ \ln(1 + e^{(V_{GS}-V_T-nV_{DS})/(2n\phi_t)}) \right]^2 \right\}$$

$$V_T = V_{T0} + \gamma(\sqrt{\phi_0 + V_{SB}} - \sqrt{\phi_0}), \quad V_{T0} = V_{FB} + \phi_0 + \gamma\sqrt{\phi_0}$$

この $V_T$ には、イオン注入、短チャネル効果等を考慮できる。弱反転の場合、指数項  $\ll 1$  であるから、

$$I_{DS} = \frac{W}{L} \mu C'_{ox} (2n) \phi_t^2 \left[ e^{(V_{GS}-V_T)/(n\phi_t)} - e^{(V_{GS}-V_T-nV_{DS})/(n\phi_t)} \right] = \frac{W}{L} \mu C'_{ox} (2n) \phi_t^2 e^{(V_{GS}-V_T)/(n\phi_t)} [1 - e^{-V_{DS}/\phi_t}]$$

となる。これは、以下の弱反転のソース参照モデルに対応する。

$$I_{DS} = \frac{W}{L} I'_M e^{(V_{GS}-V_M)/(n\phi_t)} (1 - e^{-V_{DS}/\phi_t})$$

$$I'_M = \mu \frac{\sqrt{2q\epsilon_s N_A}}{2\sqrt{2\phi_F + V'_{SB}}} \phi_t^2 = \mu C'_{ox} (n-1) \phi_t^2, \quad n = 1 + \frac{\gamma}{2\sqrt{2\phi_F + V'_{SB}}}$$

$$V_M = V_{FB} + 2\phi_F + \gamma\sqrt{2\phi_F + V'_{SB}} \quad V_{SB} = V'_{SB} \text{ (固定)}$$

# EKVモデル(ソース参照モデル2)

弱反転において、EKVモデルとソース参照モデルとの違いは、

$(n-1)e^{(V_{GS}-V_M)/(n\phi_t)}$  が  $(2n)e^{(V_{GS}-V_T)/(n\phi_t)}$  に置き換わっていることである。

$$V_M = V_{FB} + 2\phi_F + \gamma\sqrt{2\phi_F + V_{SB}} \quad , \quad V_T = V_{FB} + \phi_0 + \gamma\sqrt{\phi_0 + V_{SB}} \quad , \quad \phi_0 = 2\phi_F + \Delta\phi$$

$$n = 1 + \frac{\gamma}{2\sqrt{2\phi_F + V_{SB}}} \quad \Rightarrow \quad n = 1 + \frac{\gamma}{2\sqrt{\phi_0 + V_{SB}}}$$

すなわち、 $n-1$ と $2n$ の違いを指数の中の $V_T - V_M$ で調整でき、正しい $I_{DS}$ に近づけることができる。また、 $n$ において $2\phi_F$ を $\phi_0$ に換えることにより、更に精度は上がる。この場合 $n$ は $\alpha_3$ に変わる。強反転の場合(非飽和)、EKVモデル中の両指数項 $\gg 1$ であるから、

$$I_{DS} = \frac{W}{L} \mu C'_{ox} \frac{1}{2n} [(V_{GS} - V_T)^2 - (V_{GS} - V_T - nV_{DS})^2] = \frac{W}{L} \mu C'_{ox} \left[ (V_{GS} - V_T)V_{DS} - \frac{\alpha}{2} V_{DS}^2 \right],$$

ここで $n \Rightarrow \alpha$ となる。これは、簡単化されたソース参照強反転モデル(非飽和)である。



# EKVモデル(ソース参照モデル3)

強反転の場合(飽和)、EKVモデル中の最初の指数項  $\gg 1$ 、2番目の指数項  $\ll 1$ であるから、

$$I_{DS} = \frac{W}{L} \mu C'_{ox} \frac{1}{2n} [(V_{GS} - V_T)^2] = \frac{W}{L} \mu C'_{ox} \frac{1}{2\alpha} [(V_{GS} - V_T)^2] ,$$

ここで  $n \Rightarrow \alpha$  となる。これは、単純化されたソース参照強反転モデル(飽和)である。反転とは無関係に  $V_{DS}$  が高いとEKVモデル中の2番目の項は無視でき、

$$I_{DS} = \frac{W}{L} \mu C'_{ox} (2n) \phi_t^2 [\ln(1 + e^{(V_{GS} - V_T)/(2n\phi_t)})]^2$$

となる。アナログ回路では、たいていのデバイスは飽和領域で動作しており、上式は近似計算には向いている。

**EKVモデルは、インターポレーション(弱反転と強反転の間)モデルに非常に有効である。**

# ソース参照モデルの利点

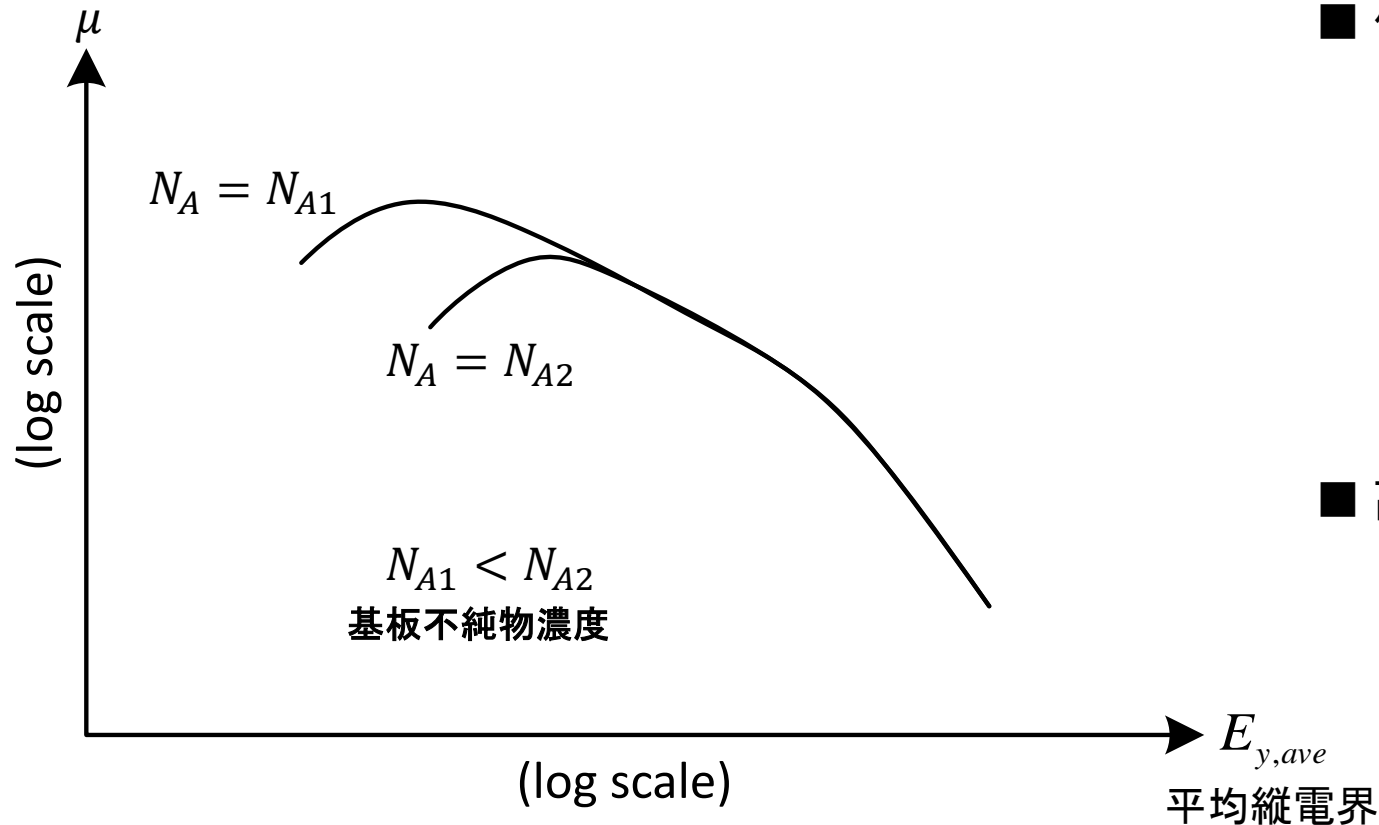
- 通常の印加電圧に対応している。
- 閾値電圧が電流式中に自然に表れる。
- バックゲートを第2のゲートとして扱える。
- キャリア速度飽和を $V_{DS}$ によって簡単に扱える。
- 非対称デバイスに対応できる。
- ソース参照モデルが高周波動作に対応している。

# 基板参照モデルの利点

- 対称デバイスに対応できる。  
(アナログ回路対応)
- 電流の飽和点を  $V_{SB}$  に関係なく  $V_{DB}$  で直接表現できる。  
(基板参照長チャネルモデル)
- 弱反転領域をよく表現できる。  
( $\psi_{sa}$  は  $V_{GB}$  のみに依存)
- 縦方向電界による移動度変化をよく扱える。
- $I_{DS}$  とその微分は  $V_{DS} = 0$  で連続に扱える。  
(コンピュータシミュレーションに適合)

# 表面移動度と平均縦電界

表面移動度



## ■ 低電界領域での $E_{y,ave}$ の $\mu$ への影響

不純物原子によるクーロン散乱  
酸化膜界面電荷

$\Rightarrow E_{y,ave}$  が高くなるにつれ増大する反転層電荷が、不純物原子や界面電荷をシールドするため、上記影響が弱まり、 $\mu$  は  $E_{y,ave}$  の増大に伴い上昇する。  
 $\Rightarrow E_{y,ave}$  が更に高くなるとフォノン(格子振動)散乱の影響が強くなり、上記上昇は止まる。

## ■ 高電界領域での $E_{y,ave}$ の $\mu$ への影響

表面ラフネス (Surface Roughness) 散乱

$\Rightarrow E_{y,ave}$  が高くなるにつれ  $\mu$  は低下

# 実効移動度(1)

ドリフト電流と拡散電流を併せた $I_{DS}$ は、

$$I_{DS} = \mu W (-Q'_I) \frac{d\psi_s}{dx} + \mu W \phi_t \frac{dQ'_I}{dx}$$

となる。 $\mu$ を一定とし、 $x = 0$ から $x = L$ まで積分すると、 $\mu$ は積分の外にでるため、

$$I_{DS} = \frac{W}{L} \mu \left[ \int_{\psi_{s0}}^{\psi_{sL}} (-Q'_I) d\psi_s + \phi_t (Q'_{IL} - Q'_{I0}) \right]$$

となる。ここで、 $\mu$ を $\mu_{eff}$ (実効移動度:縦電界依存性あり)で置き換えると、 $I_{DS}$ は以下になる。

$$I_{DS} = \frac{W}{L} \mu_{eff} \left[ \int_{\psi_{s0}}^{\psi_{sL}} (-Q'_I) d\psi_s + \phi_t (Q'_{IL} - Q'_{I0}) \right]$$

# 実効移動度(2)

一方、ドリフト電流と拡散電流を併せた $I_{DS}$

$$I_{DS} = \mu W (-Q'_I) \frac{d\psi_s}{dx} + \mu W \phi_t \frac{dQ'_I}{dx}$$

の両辺を $\mu$ で割り、 $x = 0$ から $x = L$ まで積分すると、

$$I_{DS} \int_0^L \frac{dx}{\mu} = W \left[ \int_{\psi_{s0}}^{\psi_{sL}} (-Q'_I) d\psi_s + \phi_t (Q'_{IL} - Q'_{I0}) \right]$$

となる。この式と前シートで求めた $\mu_{eff}$ を含む式を比較すると、以下が得られる。

$$\mu_{eff} = \frac{1}{\frac{1}{L} \int_0^L \frac{1}{\mu} dx}$$

# 実効移動度(3)

実験データから、 $\mu$ は強反転の場合、以下で近似できる。

$$\mu = \frac{\mu_0}{1 + \alpha_\theta E_{y,ave}}$$

ここで、

$$E_{y,ave} = \frac{E_{ys} + E_{yb}}{2}$$

である。 $E_{ys}$ は表面での縦方向電界、 $E_{yb}$ は反転層下での縦方向電界である。つまり、

$$E_{ys} = -\frac{Q'_I + Q'_B}{\epsilon_s}, \quad E_{yb} = -\frac{Q'_B}{\epsilon_s}$$

である。この場合、 $E_{y,ave}$ は次式になる。

$$E_{y,ave} = -\frac{Q'_B + 0.5Q'_I}{\epsilon_s}$$

Mathiessenの法則

$$\frac{1}{\mu} = \frac{1}{\mu_1} + \frac{1}{\mu_2}$$

# 実効移動度(4)

$E_{y,ave}$ を $\mu$ の式に代入すると、 $\mu$ は以下になる。

$$\mu = \frac{\mu_0}{1 - (a_\theta/\varepsilon_s)(Q'_B + 0.5Q'_I)}$$

更に、 $\mu_{eff}$ は、

$$\mu_{eff} = \frac{\mu_0}{\frac{1}{L} \int_0^L [1 - (a_\theta/\varepsilon_s)(Q'_B + 0.5Q'_I)] dx}$$

である。ここで、 $V_{CB}$ が $x$ に対し線形に変化するものとする(低い $V_{DS}$ の場合成立)、 $dV_{CB}/dx \approx (V_{DB} - V_{SB})/L$  となるため、 $\mu_{eff}$ は次式になる。

$$\mu_{eff} \approx \frac{\mu_0}{[1/(V_{DB} - V_{SB})] \int_{V_{SB}}^{V_{DB}} [1 - (a_\theta/\varepsilon_s)(Q'_B + 0.5Q'_I)] dV_{CB}}$$



# 実効移動度(5)

計算の結果、 $\mu_{eff}$ は

$$\mu_{eff} = \frac{\mu_0}{1 + \theta f_\mu} \quad \left( \text{但し、} \theta = \frac{\alpha_\theta}{2\varepsilon_s} C'_{ox} \right)$$

となる。 $f_\mu$ は、完全対称強反転モデルの場合、

$$f_\mu = (V_{GB} - V_{FB} - \phi_0) - \frac{1}{2}(V_{DB} + V_{SB}) + \frac{2}{3}\gamma \frac{(\phi_0 + V_{DB})^{3/2} - (\phi_0 + V_{SB})^{3/2}}{V_{DB} - V_{SB}}$$

一方、簡単化されたソース参照強反転モデルの場合の $f_\mu$ は、

$$f_\mu = V_{GS} - V_{FB} - \phi_0 + \gamma\sqrt{\phi_0 + V_{SB}} - \left(1 - \frac{\alpha}{2}\right)V_{DS} = V_{GS} - V_T + 2\gamma\sqrt{\phi_0 + V_{SB}} - \left(1 - \frac{\alpha}{2}\right)V_{DS}$$

$$\text{但し、} V_T = V_{FB} + \phi_0 + \gamma\sqrt{\phi_0 + V_{SB}}$$

# 実効移動度(6)

$\mu_{eff}$ の式の中の $Q'_B$ と $Q'_I$ に代入する式として、

完全対称強反転モデル(直接導出)からの式

$$Q'_B = -\gamma C'_{ox} \sqrt{\phi_0 + V_{CB}}$$

$$Q'_I = -C'_{ox} \left( V_{GB} - V_{FB} - \phi_0 - V_{CB} - \gamma \sqrt{\phi_0 + V_{CB}} \right)$$

または、簡単化されたソース参照強反転モデル(直接導出)の式

$$-\frac{Q'_B}{C'_{ox}} \approx \gamma \sqrt{\phi_0 + V_{SB}} + (\alpha - 1)(V_{CB} - V_{SB})$$

$$Q'_I = -C'_{ox} \left[ V_{GB} - V_{SB} - V_{FB} - \phi_0 - \gamma \sqrt{\phi_0 + V_{SB}} - \alpha(V_{CB} - V_{SB}) \right]$$

を代入して計算する。

# 実効移動度(7)

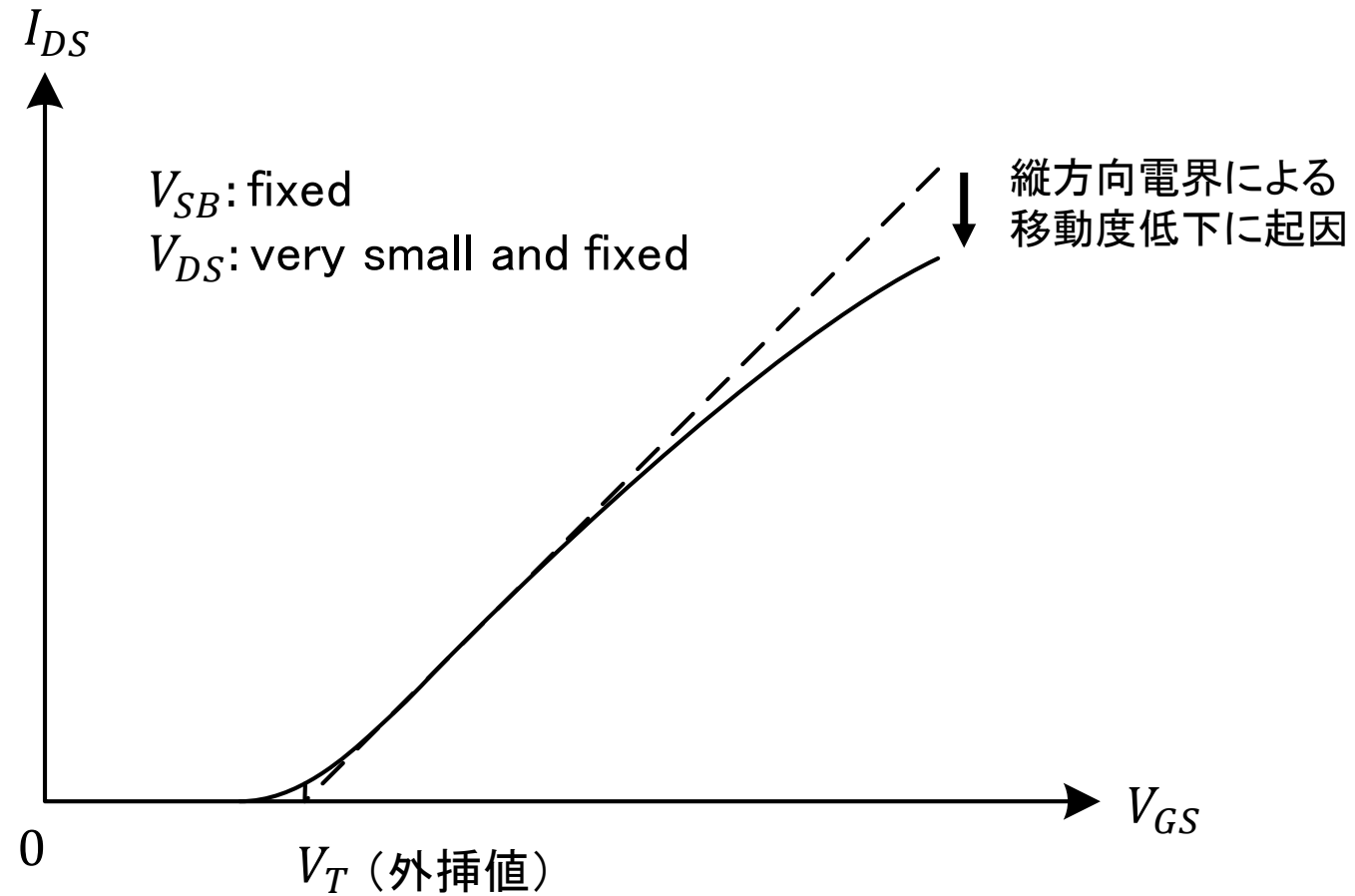
簡単化されたソース参照強反転モデルからの $\mu_{eff}$ を更に近似すると、

$$\mu_{eff} = \frac{\mu_0}{1 + \theta(V_{GS} - V_T) + \theta_B V_{SB}} \quad (\text{但し、}\theta_B \text{は定数})$$

となる。ここでの近似は、

- (1)  $f_\mu$ の中の $V_{DS}$ に関する項を落とした。  
⇒ 飽和電圧 $V'_{DS}$ に関し、今までの式  
( $\mu$ を一定とした式)を使える。
- (2)  $f_\mu$ の中の $V_{SB}$ に関する項を線形近似した。

# $I_{DS}$ vs. $V_{GS}$ 特性



# 温度依存性

移動度の温度依存性は、以下で表される。

$$\mu(T) = \mu(T_r) \left( \frac{T}{T_r} \right)^{-k_3}$$

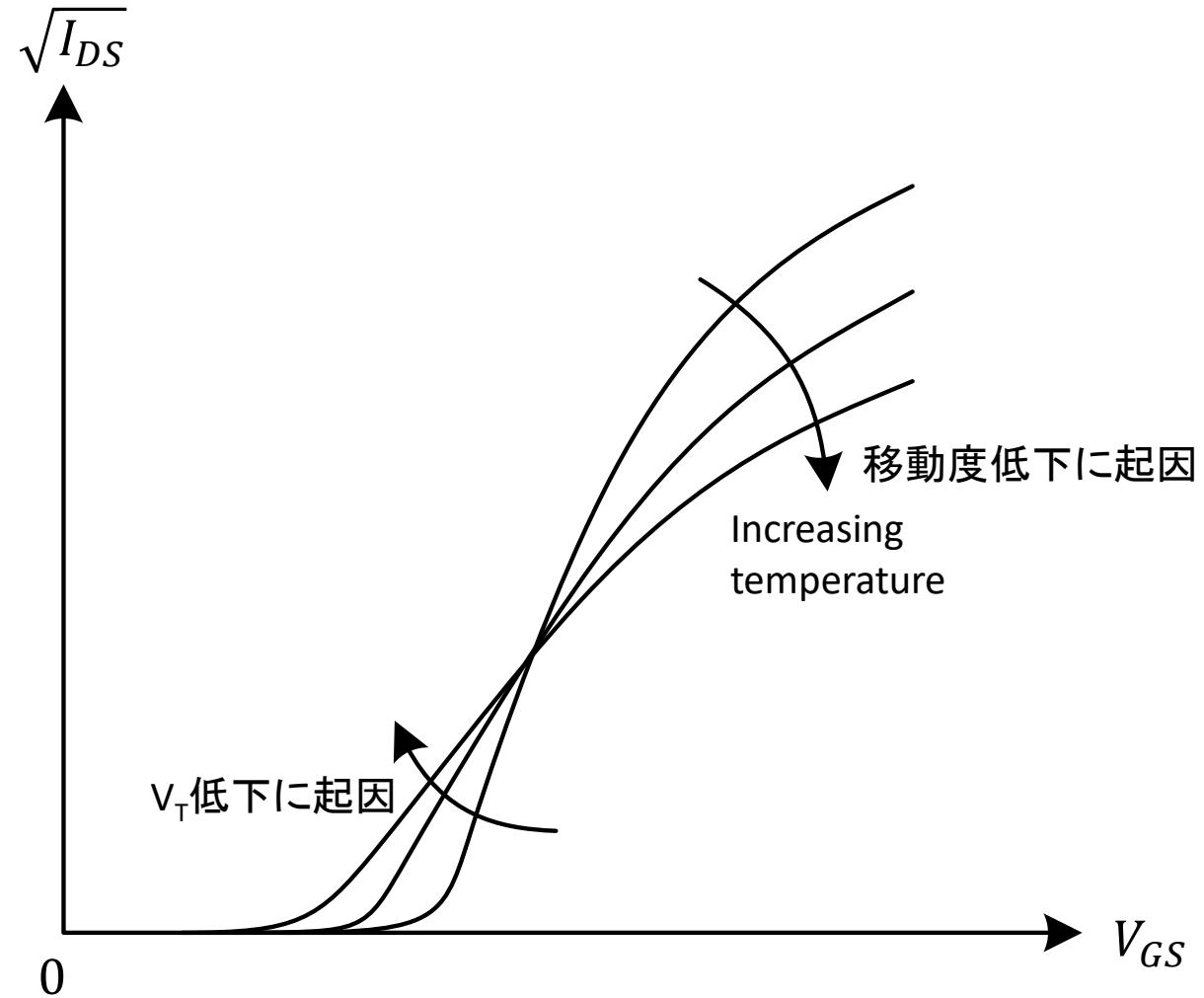
ここで、 $T$ は絶対温度、 $T_r$ は室温、 $k_3 (= 1.2 \sim 2.0)$ は定数である。  
 $V_T$ の温度依存性は、以下で表される。

$$V_T(T) = V_T(T_r) - k_4(T - T_r)$$

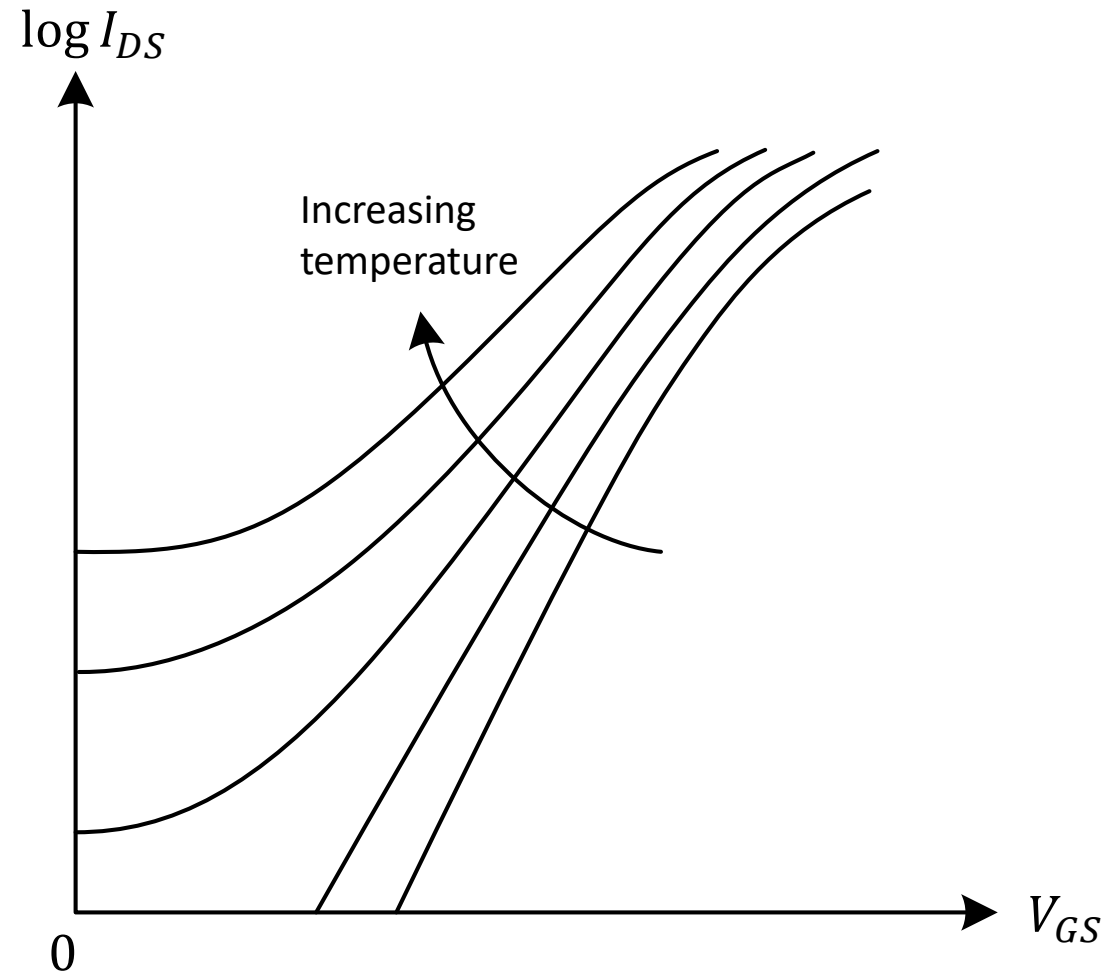
ここで、 $k_4 (= 0.5 \sim 3 \text{ mV/K})$ は定数である。 $V_T$ は、 $\phi_0$ と $V_{FB}$ により温度依存性を持つ。  
これらから、電流式(簡単化されたソース参照強反転モデル:飽和状態)は次式となる。

$$\sqrt{I_{DS}} = \sqrt{\mu(T)} \sqrt{\frac{1}{2} \frac{W}{L} \frac{C'_{ox}}{\alpha}} [V_{GS} - V_T(T)]$$

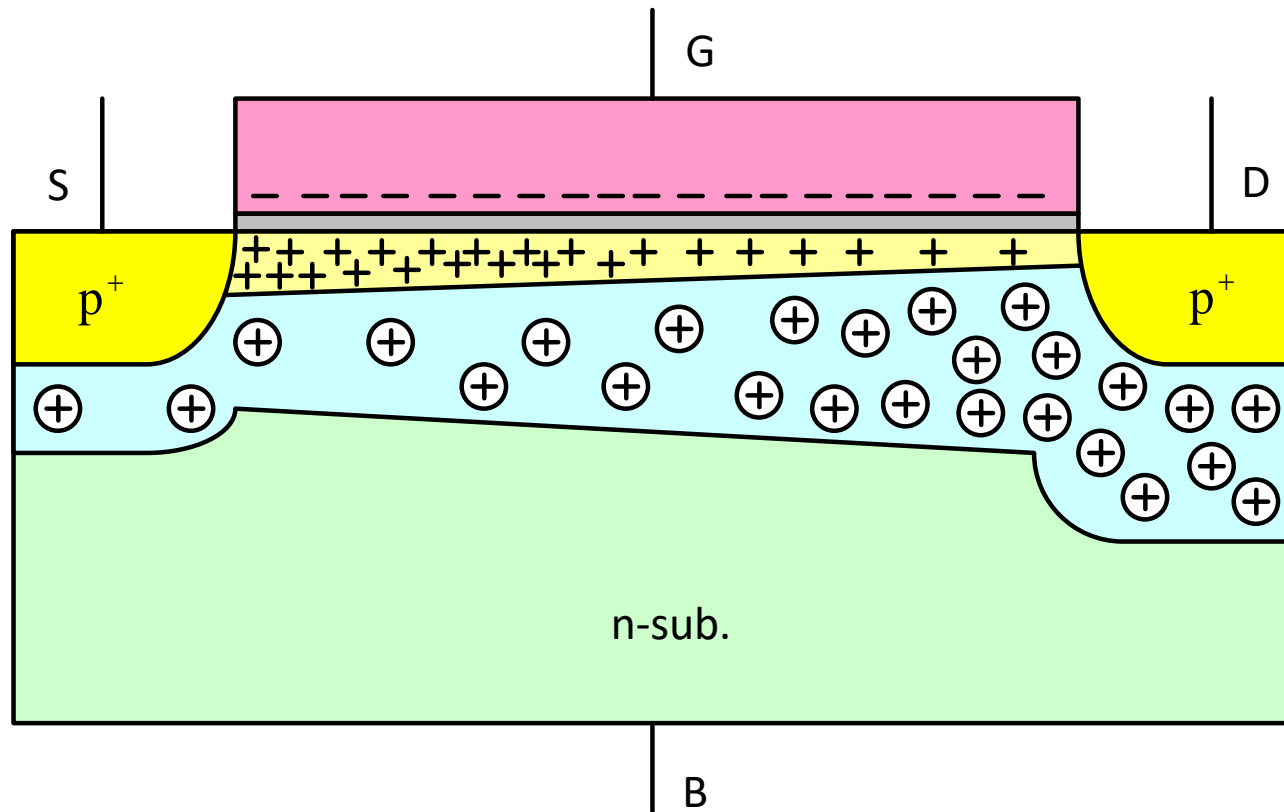
# 飽和領域での $I_{DS}^{1/2}$ vs. $V_{GS}$



# Log $I_{DS}$ vs. $V_{GS}$ (低電流領域)



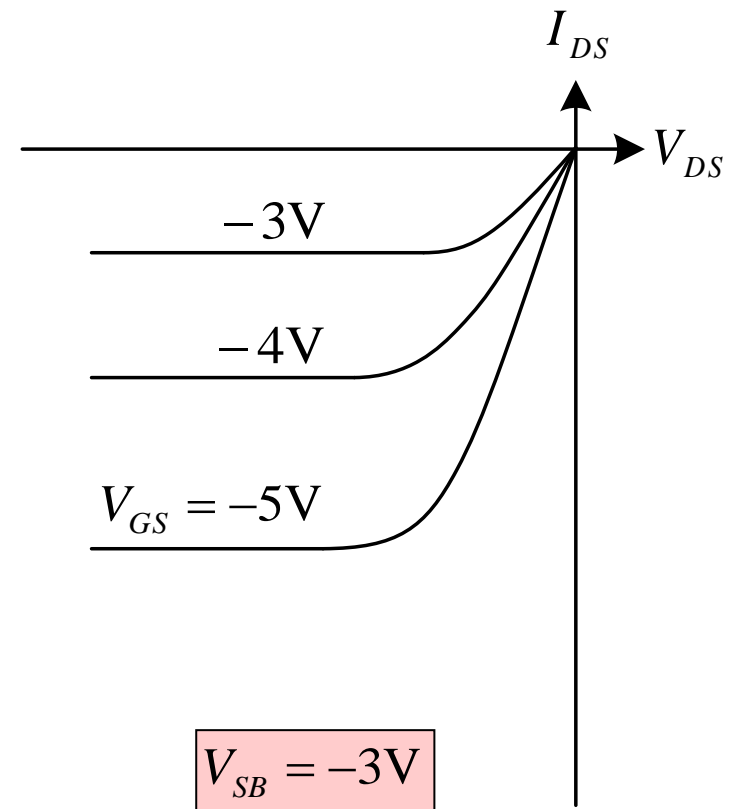
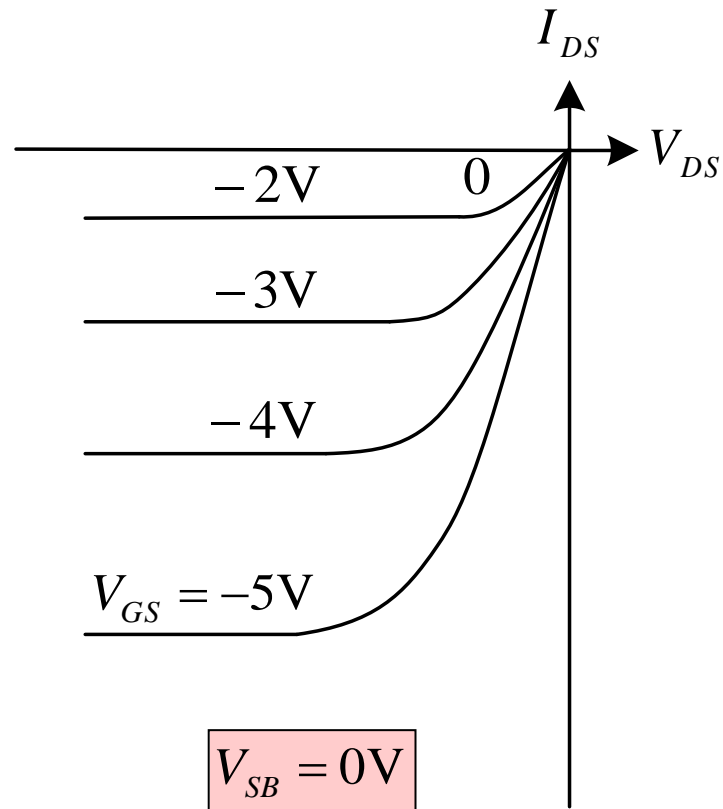
# pチャネルMOSFET



nチャネルと極性が逆



# pチャネルMOSFET $I_{DS}-V_{DS}$ 特性



# Pチャネルトランジスタ電流式

強反転領域の電流式は、以下になる。

$$I_{DSN} = -\frac{W}{L} \mu C'_{ox} \left[ (V_{GS} - V_T) V_{DS} - \frac{\alpha}{2} V_{DS}^2 \right]$$

ここで、閾値電圧は以下になる。

$$V_T(V_{SB}) = V_{T0} - \gamma (\sqrt{-\phi_0 - V_{SB}} - \sqrt{-\phi_0})$$

$$V_{T0} = V_{FB} + \phi_0 - \gamma \sqrt{-\phi_0}$$

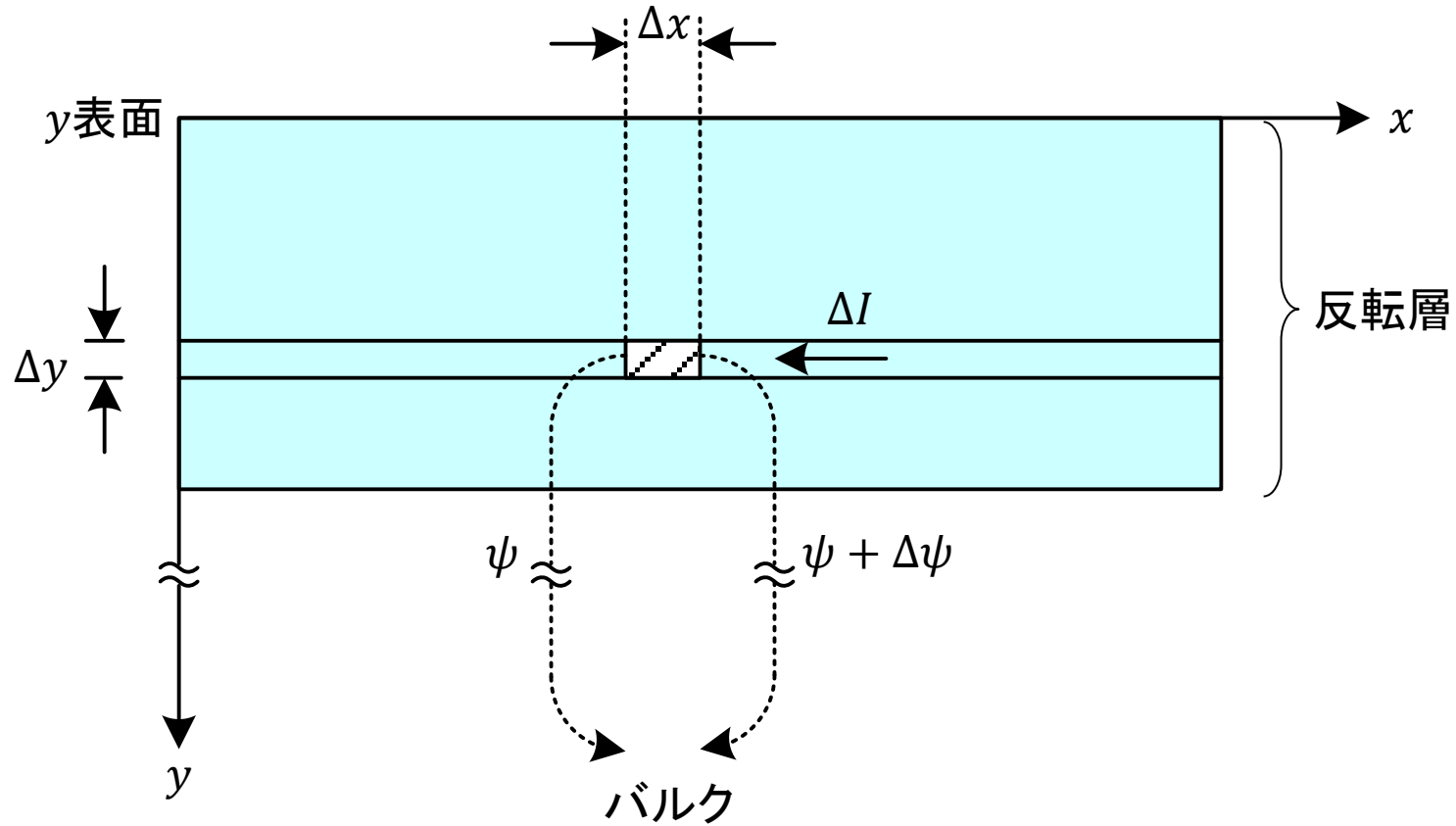
ここで、 $V_{SB}$ と $\phi_0$ は負の値である。

# 付録

## 擬フェルミ電位を用いたモデル(Pao-Sah)

# 擬フェルミ電位を用いたドレイン電流(1)

## Pao-Sahモデル: 反転層内の電流



# 擬フェルミ電位を用いたドレイン電流(2)

反転層内微小領域を流れる電流は、以下の如くである。

$$dI_{DS} = dI_{drift}(x, y) + dI_{diff}(x, y)$$

$$dI_{drift}(x, y) = (Wdy)q\mu n(x, y) \frac{\partial \psi(x, y)}{\partial x}, \quad dI_{diff}(x, y) = -(Wdy)q\mu\phi_t \frac{\partial n(x, y)}{\partial x}$$

電子密度 $n(x, y)$ は、以下の如くである。

$$n(x, y) = n_0 e^{[\psi(x, y) - V(x)] / \phi_t}$$

$V(x)$ は基板の深い領域と表面との擬フェルミ電位差である。

$$V(0) = V_{SB}, \quad V(L) = V_{DB}$$

$n(x, y)$ を $x$ で微分すると、以下を得る。

$$\frac{\partial n(x, y)}{\partial x} = \frac{n(x, y)}{\phi_t} \left[ \frac{\partial \psi(x, y)}{\partial x} - \frac{dV(x)}{dx} \right]$$

# 擬フェルミ電位を用いたドレイン電流(3)

$dI_{diff}(x, y)$ は次式になる。

$$dI_{diff}(x, y) = -(Wdy)q\mu n(x, y) \left[ \frac{\partial\psi(x, y)}{\partial x} - \frac{dV(x)}{dx} \right]$$

この式と $dI_{drift}(x, y)$ の式から、 $dI_{DS}$ は以下となる。

$$dI_{DS} = (Wdy)q\mu n(x, y) \frac{dV(x)}{dx}$$

全電流は、 $y = y_{surface}$ から $y = y_c$ まで積分して、以下を得る。

$$I_{DS} = W\mu \frac{dV(x)}{dx} q \int_{y_{surface}}^{y_c} n(x, y) dy = W\mu(-Q'_I) \frac{dV(x)}{dx}$$

( $y_c$ より下では、  
電子密度を無視でき、  
 $\mu$ は $y$ に依存しない)

次に、チャネル長に沿って積分すると以下になる。

$$I_{DS} = \frac{W}{L} \int_{V_{SB}}^{V_{DB}} \mu(-Q'_I) dV$$

# 擬フェルミ電位を用いたドレイン電流(4)

電子と正孔が空乏層内に存在するとした場合、 $Q'_I$ は以下になる。

$$Q'_I = -qN_A e^{(-2\phi_F - V)/\phi_t} \int_{\psi_c}^{\psi_s} \frac{e^{\psi(y)/\phi_t}}{E(\psi)} d\psi$$

ここで、 $\psi_c$ は、電子が無視できるところの基板に対する電位である。  
便宜的に、 $n = n_i$ のところにとる。すなわち

$$\psi_c = \phi_F + V$$

である。また、 $E(\psi)$ は、

$$E(\psi) = \frac{\sqrt{2q\epsilon_s N_A}}{\epsilon_s} \sqrt{\phi_t e^{-\frac{\psi(y)}{\phi_t}} + \psi - \phi_t + e^{-\frac{2\phi_F}{\phi_t}} \left( \phi_t e^{\frac{\psi(y)-V}{\phi_t}} - \psi - \phi_t e^{-\frac{V}{\phi_t}} \right)}$$

で与えられる。上記  $Q'_I$  から  $I_{DS}$  は、下記の2重積分で表される。

$$I_{DS} = \frac{W}{L} qN_A \int_{V_{SB}}^{V_{DB}} \mu \int_{\psi_c}^{\psi_s} \frac{e^{(\psi - 2\phi_F - V)/\phi_t}}{E(\psi)} d\psi dV$$